

MÉTODOS DE AGRUPAMENTOS EM DOIS ESTÁGIOS

Jefferson R. de Souza e Teresa B. Ludermir

Abstract This work investigates the use of two-stage clustering methods. Four techniques were proposed: SOMK, SOMAK, ASCAK and SOINAK. SOMK is composed of a SOM (Self-Organizing Maps) followed by the K-means algorithm, SOMAK is a combination of SOM followed by the Ant K-means (AK) algorithm, ASCAK is composed by the ASCA (Ant System-based Clustering Algorithm) and AK algorithms, SOINAK is composed by the Self-Organizing Incremental Neural Network (SOINN) and AK. SOINAK presented a better performance among the four proposed techniques when applied to pattern recognition problems.

Resumo: Este trabalho investiga a utilização de métodos de agrupamentos em dois estágios. Quatro técnicas foram propostas: SOMK, SOMAK, ASCAK e SOINAK. SOMK é composta de uma SOM (Mapas Auto-Organizáveis) seguido do algoritmo K-médias, SOMAK é uma combinação de SOM seguido do algoritmo Ant K-médias (AK), ASCAK é composto pelos algoritmos ASCA (Ant System-based Clustering Algorithm) e AK, SOINAK é composto pela Rede Neural Incremental Auto-Organizável (SOINN) e AK. SOINAK apresentou um melhor desempenho entre as quatro técnicas propostas quando aplicados nos problemas de reconhecimento de padrões.

Keywords: Sistemas Híbridos Inteligentes, Aprendizagem Não Supervisionada, K-médias, Self-Organizing Maps, Ant Colony Optimization, Ant System-based Clustering Algorithm, Self-Organizing Incremental Neural Network

1. INTRODUÇÃO

Clusterização é uma técnica de aprendizado não-supervisionado que faz o agrupamento automático de instâncias similares, sem a necessidade de que os dados sejam rotulados. Ou seja, um algoritmo que clusteriza dados classifica eles em conjuntos de dados que ‘se assemelham’ de alguma forma - independentemente de classes predefinidas. Os grupos gerados por essa classificação são chamados clusters [1] e [2]. Padrões pertencentes a um dado *cluster* devem ser mais similares entre si do que em relação a padrões pertencentes a outros clusters [3].

A análise de agrupamento de dados é um importante domínio de pesquisa de mineração de dados. Esta análise tem aplicação em muitos domínios, tais como: Negócio, Medicina, Geografia e Processamento de Imagens. Além disso, vem sendo usada em vários campos, como: Estatística, Reconhecimento de Padrões e Aprendizado de Máquina.

Sistemas Híbridos Inteligentes (SHIs) [4], [5], [6] e [7] são modelos que resultam da combinação de duas ou mais técnicas computacionais distintas para solucionar um dado problema. O uso destes sistemas é proposto por combinar as vantagens de suas técnicas, e superar as limitações que cada uma apresenta individualmente na resolução do problema de interesse. Estes sistemas podem nos levar a soluções mais robustas e eficientes, quando aplicados corretamente. Acredita-se, que um modelo de computação inteligente tem grandes chances de se desenvolver se unir os seus potenciais com os diferentes modelos da Inteligência Artificial. Vale salientar, que a utilização dos SHIs não nos impulsiona a uma melhora do desempenho do sistema como um todo, muitas vezes os resultados obtidos pelos SHIs são inferiores ao desempenho das técnicas que o compõem [2].

Neste trabalho, diversas técnicas foram investigadas de modo a contribuir para o aprimoramento do sistema de descoberta de padrões, visando utilizá-las para solucionar o problema de agrupamento. A primeira técnica é a SOMK, composta da rede SOM seguida do algoritmo K-médias, onde SOMK é útil para diminuição de ruídos *outliers* nos dados [8]. SOMK se baseia em dois estágios, onde o primeiro é aplicado para o pré-processamento dos dados e o segundo para agrupar os dados finais. A segunda técnica observada é o método de agrupamento SOMAK que utiliza uma rede SOM com o procedimento AK. SOMAK tem algumas vantagens tais como: a redução do tempo computacional, a redução da quantidade de agrupamentos e a redução de ruídos, os quais são observações num conjunto de dados, que é suficientemente dissimilar do restante dos dados, ou seja, estas observações são designadas por observações anormais, contaminantes, estranhas e extremas) [9] [10]. A terceira técnica é a ASCAK que resulta da combinação dos algoritmos ASCA (do inglês, *Ant System-based Clustering Algorithm*) e AK. ASCAK apresentou melhores resultados quando comparado ao sistema híbrido SOMAK. E por fim, a quarta técnica é a SOINAK, composta da rede SOINN [11], que aplica aprendizagem não-supervisionada de forma incremental seguida do AK.

SOMAK, ASCAK e SOINAK utilizam SOM, ASCA e SOINN respectivamente como métodos de primeiro estágio sobre os dados de entrada, ao invés de realizar o agrupamento dos dados diretamente. Primeiro, um conjunto grande de protótipos é formado pela rede SOM, ASCA e SOINN. Na segunda etapa, os protótipos são interpretados e então combinados para formar os agrupamentos finais. A segunda etapa do sistema híbrido proposto é o algoritmo AK, que se baseia na abordagem meta-heurística, proposta para solucionar problemas de difícil otimização combinatória, denominada Otimização baseada em Colônia de Formigas ou *Ant Colony Optimization* (ACO) [12]. ACO é um método de otimização bio-inspirado que toma como referência o comportamento das formigas, de forma a identificar caminhos mais curtos entre o ninho e a fonte de alimento.

Deve-se ressaltar que o objetivo neste trabalho não é o de encontrar um agrupamento ótimo para os dados, mas obter uma visão sobre a estrutura de agrupamento dos dados usando SOMAK, ASCAK e SOINAK, com a finalidade de reduzir o tempo computacional e melhorar o desempenho quando comparado com outras técnicas de agrupamento. As vantagens do SOMAK são a redução do tempo computacional, a redução da quantidade de agrupamentos e a redução de ruídos. A vantagem do método de agrupamento ASCAK é a redução de ruídos. A vantagem principal do SOINAK quando comparada com os modelos SOMK, SOMAK e ASCAK é o fato que não é necessário saber *a priori* o número de agrupamentos como no algoritmo K-médias (ou AK). Outro benefício importante é que não é necessário informar os centróides iniciais com SOINAK.

Este artigo está dividido em seis seções. A seção 2 mostra as técnicas de aprendizado não-supervisionado e sistemas híbridos. Na seção 3 são descritos os métodos propostos. Na seção 4 são apresentados os materiais e métodos usados neste trabalho. A seção 5 apresenta os resultados obtidos de cada um dos métodos de agrupamentos em problemas de reconhecimento de padrões. As considerações finais são apresentadas na seção 6.

2 Aprendizado Não-Supervisionado

No aprendizado não-supervisionado não há um supervisor externo para acompanhar o processo de aprendizado. Neste esquema de treinamento, somente os padrões de entrada estão disponíveis, ao contrário do aprendizado supervisionado, cujo conjunto de treinamento contém pares de entrada e saída. É necessário que exista uma regularidade e redundância nos padrões de entrada, pois são características fundamentais para haver aprendizado não-supervisionado [2]. Este tipo de aprendizado é aplicado aos problemas que se preocupam com a descoberta de agrupamentos (grupos). Modelos bastante conhecidos e usados são: K-médias [13], SOM de Kohonen [14] e SOINN de Furoo e Hasegawa [11].

2.1 K-médias

O K-médias é um dos mais simples algoritmos de aprendizagem não-supervisionada usados para solucionar o problema de agrupamento. O objetivo é dividir os dados dentro de k grupos fixados *a priori*. O algoritmo consiste em dois estágios: um inicial e um iterativo. O estágio inicial envolve a definição dos k centros ou centróides, um para cada agrupamento. Muitas vezes, os centróides são escolhidos aleatoriamente. A escolha de diferentes centróides iniciais pode levar a resultados finais diferentes. O segundo estágio do algoritmo K-médias consiste em repetir a diferença entre o padrão de entrada e o centróide mais próximo, com isso calculando os k novos centróides [13]. Esta iteração pára quando certo critério é estabelecido; por exemplo, número de iterações ou não haver mudança na posição dos centróides. Suponhamos que em um dado conjunto N (amostras de dados), queremos classificar os dados dentro de k (grupos), o algoritmo tende a minimizar uma função de erro, como, por exemplo, o erro médio quadrático definido na Eq1:

$$E = \sum_{j=1}^k \sum_{i=1}^N \|x_i - c_j\|^2 \quad (1)$$

onde k representa o número de agrupamentos, N o número de amostras, x a entrada de cada amostra e c_j é o centro de j agrupamentos. O Algoritmo 1, usado para o treinamento do algoritmo K-médias, é resumido a seguir.

Algorithm 1: Algoritmo K-médias [13]

```

1 Definição dos  $k$  centros aleatoriamente
2 while Não houver mudança nos centros do
3   for Cada padrão  $x_i$  de treinamento do
4     Atribuir  $x_i$  ao grupo associado com o centro  $c_j$  mais próximo
5     Calcular um novo centro para cada grupo
6     for cada grupo  $c_j$  do
7       Calcular  $c_j = \sum_{i=1}^k \frac{\|x_i - c_j\|}{N}$ 

```

2.2 SOM

A rede neural auto-organizável (SOM, do inglês, *Self-Organizing Maps*) [14] consiste em uma grade regular, unidades de processamento sobre o mapa e normalmente possui duas dimensões (2-D). Cada unidade de processamento i é representada por um vetor de protótipos (pesos da conexão) $m_i = [m_{i1}, \dots, m_{id}]$, onde d é a entrada da dimensão do vetor. As unidades estão conectadas a seus adjacentes por uma relação de vizinhança. O número das unidades do mapa varia de algumas dezenas até milhares, o qual determina a acurácia e a capacidade de generalização da rede SOM. Durante o treinamento, SOM forma uma rede elástica que se dobra, composta pelos dados de entrada. Os dados situados próximos uns dos outros no espaço de entrada são

mapeados próximos das unidades do mapa. Assim, SOM pode ser interpretada como uma topologia, preservando o mapeamento do espaço de entrada sobre a grade 2-D das unidades do mapa.

SOM é treinada iterativamente, ou seja, em cada etapa de treinamento um vetor de amostra (padrões) x é escolhido aleatoriamente de um conjunto de dados de entrada. As distâncias entre x e todos os vetores de protótipos são calculados. A melhor unidade de processamento (*Best Matching Unit* (BMU)) é denotada por b que é a unidade do mapa com o protótipo mais próximo de x . A seguir serão mostradas as variáveis fundamentais para o entendimento do Algoritmo 2, são elas: t : tempo, $\alpha(t)$: coeficiente de adaptação (taxa de aprendizado), $h_{bi}(t)$: vizinhança de *kernel* centrada sobre a unidade vencedora (neurônio vencedor), r_b e r_i : posições dos neurônios b e i sobre a grade da rede neural SOM, N : número de padrões de treinamento e M : número das unidades do mapa. O Algoritmo 2, utilizado para o treinamento da rede neural SOM, é resumido a seguir.

Algorithm 2: Algoritmo SOM [14]

```

1 Inicialização dos pesos e parâmetros
2 while Mapa de características não modificar do
3   for Cada padrão de treinamento do
4     Definir neurônio vencedor:  $b = \operatorname{argmin}_i \|x - m_i\|$ 
5     Atualizar os pesos deste neurônio e de seus vizinhos
6      $m_i(t + 1) = m_i(t) + \alpha(t)h_{bi}(t)[x - m_i(t)]$  e  $h_{bi}(t) = \exp(-\frac{\|r_b - r_i\|^2}{2\sigma^2(t)})$ 
7     if O número do ciclo for múltiplo de  $N$  then
8       └ reduzir a taxa de aprendizado

```

No caso de dados discreto e vizinhança de *kernel* fixa, a função de erro da rede SOM pode ser:

$$E = \sum_{i=1}^N \sum_{j=1}^M h_{bj} \|x_i - m_j\|^2 \quad (2)$$

SOM pode ser aplicado em um grande conjunto de dados. A complexidade computacional cresce linearmente com o número de amostras de dados, e não requer uma grande quantidade de memória (basicamente apenas os vetores de protótipos e o vetor de treinamento atual), e pode ser implementada tanto em uma forma de aprendizagem neural ou on-line, bem como em paralelo [15]. Por outro lado, a complexidade cresce quadraticamente com o número de unidades de processamento do mapa. Assim, mapas de treinamento muito grandes consomem muito tempo, embora o processo possa ser acelerado com técnicas especiais [16] e [17].

2.3 SOINN

Furao e Hasegawa [11] propuseram uma rede neural incremental auto-organizável (SOINN, do inglês, *Self-Organizing Incremental Neural Network*), visando realizar a aprendizagem não-supervisionada de dados. SOINN pode ser usado para solucionar problemas de aprendizagem não supervisionada, gerar grupos de dados correlacionados e realizar esse aprendizado de forma incremental. Assim, a técnica intenciona alcançar os seguintes objetivos: não necessitar de conhecimento, *a priori*, dos dados (por exemplo, o número de grupos), ou seja, ser minimamente dependente da entrada paramétrica dos dados pelo usuário e separar grupos com interseções de baixa densidade e reportar representantes adequados para cada grupo gerado.

O SOINN adota uma estrutura de duas camadas: a primeira aprende a distribuição da densidade dos dados de entrada e a segunda realiza um refinamento do conhecimento adquirido pela primeira, reportando os grupos formados pelas entradas submetidas até então, com uma quantidade menor de nodos (ou neurônios) que a reportada pela primeira camada para representar a topologia dos dados. O método de aprendizagem usado para a segunda camada é o mesmo da primeira, recebendo como entrada o conjunto de dados (pesos dos nodos) aprendidos na primeira camada. A Figura 1 apresenta um diagrama de fluxo do algoritmo.

Ao receber uma nova entrada, são encontrados dois nodos chamados de primeiro e segundo vencedor. Em seguida, o algoritmo verifica se esta entrada pertence ou não a um dos grupos (primeiro ou segundo vencedor), de acordo com a proximidade deles, mediante a utilização de um limiar adaptativo, que é ajustado dinamicamente na primeira camada para cada nodo.

Caso a entrada não se encontre dentro dos limites do primeiro e segundo vencedores, ela é adicionada à rede como um novo nodo, e o algoritmo segue para processar uma nova entrada. Esta inserção é chamada de inserção entre-grupos. Por outro lado, se a entrada é considerada como pertencente a um dos dois grupos e uma conexão entre o primeiro e o segundo vencedor não existir, ela é criada, e, tal conexão possui sua variável *idade* zerada. Depois, os pesos do nodo vencedor são ajustados usando uma taxa de aprendizagem adaptativa e os de seus vizinhos são modificados, usando uma segunda taxa de aprendizagem. Há diversas variáveis, como: densidade local acumulada, útil para realizar a contagem de vitórias do nodo e o Erro Local Acumulado (E). Além disso, as idades de todas as conexões que herdam do nodo vencedor devem ser incrementadas.

Todas as conexões com *idade* superior a um valor constante predefinido, age_{dead} , são removidas. Após um múltiplo de λ (lambda) iterações de aprendizagem, sendo λ uma constante predefinida pelo usuário, SOINN realiza uma tentativa de inserção de um novo nodo entre o maior E e seu vizinho com maior E. Essa inserção, chamada de inserção intra-grupo, é cancelada se não conseguir diminuir o erro local, que é calculado para cada nodo como a razão entre o E e sua respectiva Densidade Local Acumulada (M). Depois, SOINN encontra todos os nodos com nenhuma conexão e os apaga. Para nodos com apenas uma

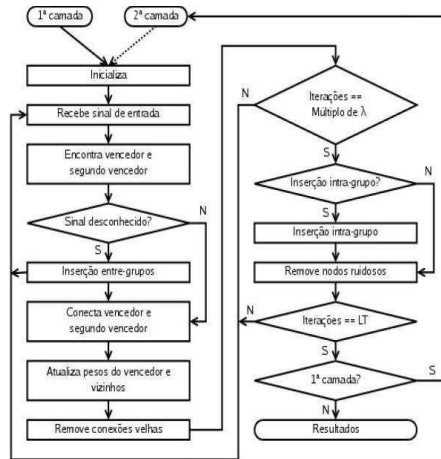


Figura 1: Fluxo de execução do algoritmo SOINN [11]

conexão, o nodo é apagado se a M for menor que a média da densidade acumulada de todos os nodos da rede. Este passo ocasiona a remoção de prováveis ruídos e áreas de baixa densidade de dados.

Após LT iterações, os pesos dos nodos são submetidos como entrada para a segunda camada, que, realiza um processo de aprendizagem da mesma forma da primeira camada, gerando, ao fim, grupos mais coesos. Portanto, reporta os grupos gerados e seus representantes adequados. Tais grupos são formados por nodos que estão conectados por meio de um caminho de conexões. A única distinção entre o processo de aprendizagem das camadas é o limiar adotado, que na primeira camada é adaptativo e na segunda é constante. A segunda camada da rede SOINN proporciona um refinamento do resultado obtido pela primeira, eliminando dados ruidosos e irrelevantes, mantendo apenas os que são representativos para cada grupo.

2.3.1 Implementação do Algoritmo SOINN

Um roteiro do funcionamento do algoritmo SOINN é descrito a seguir. A diferença entre as duas camadas é que o conjunto de dados de entrada da segunda camada são os nodos resultantes da primeira camada. Além disso, ao invés do limiar dinâmico da primeira camada, é usado um limiar estático na segunda. Algumas notações são usadas durante a descrição do algoritmo: A : conjunto de nodos, N_A : número de nodos de A , C : conjunto de conexões, N_C : número de conexões em C , W_i : vetor de pesos n -dimensional do nodo i , E_i : erro local acumulado do nodo i (atualizado quando o nodo i é o vencedor), M_i : densidade local acumulada do nodo i (representa o número de vezes que o nodo i foi vencedor), R_i : raio de erro do nodo i (definido como a média do erro acumulado, $\frac{E_i}{M_i}$, e atualizada na inserção), G_i : rótulo do grupo (usada para verificar qual grupo o nodo i pertence), Q : número de grupos, T_i : limiar de similaridade, N_i : conjunto de vizinhos topológicos diretos do nodo i , L_i : número de vizinhos topológicos do nodo i , $age_{(i,j)}$: idade da conexão entre o nodo i e o nodo j e $path$: dado uma série de nodos $x_i \in A$, $i = 1, \dots, n$, fazendo $(i, x_1), (x_1, x_2), \dots, (x_{n-1}, x_n), (x_n, j) \in C$. Nesse caso, existe um caminho entre o nodo i e j . O Algoritmo 3, usado para o treinamento de SOINN, é resumido a seguir.

2.3.2 Determinação dos Parâmetros

1. Limiares de similaridade

Os limiares determinam a inserção ou não de um novo nodo na rede. Um limiar ótimo, é maior que a distância intra-grupo e menor que a distância entre-grupos. A primeira camada adota um limiar adaptativo, se o nodo possuir vizinhos topológicos, seu limiar T_i é a maior distância entre ele e seus vizinhos ($T_i = \max_{c \in N_i} \|W_i - W_c\|$); caso o nodo não possua vizinhos seu limiar T_i é a distância mínima entre ele e todos os nodos da rede ($T_i = \min_{c \in A} \|W_i - W_c\|$). A segunda camada usa um limiar constante T_c , que é a menor distância entre os grupos (e.g. maior distância entre elementos do 1º e 2º grupo), maior que a Média das Distâncias Intra-grupo (MDI). MDI é a média das distâncias entre os nodos de todas as conexões.

2. Taxa de aprendizagem adaptativa

SOINN usa uma Taxa de Aprendizagem Adaptativa (TAA), proporcionando os nodos uma parcela maior dos dados e menos adaptados para representar novos padrões de entrada; assim, aumentando a estabilidade da rede. Isto proporciona a capacidade de aprendizado de SOINN. SOINN usa uma TAA por nodo que decai com o tempo (t), considerando M nodo, que indica quantas vezes o nodo foi vencedor, assim $t = M_i$. $\varepsilon_1(t) = \frac{1}{t}$ representa a Função da Taxa de Aprendizagem (FTA) para o nodo vencedor e $\varepsilon_2(t) = \frac{1}{100 * t}$ a FTA para os nodos que são vizinhos diretos do nodo vencedor.

3. Fatores de decaimento de E, M e R

Quando realiza uma inserção intra-grupo usa-se α_1 , α_2 e α_3 para estabelecer os valores de E, M e o raio de erro herdado (R) do novo nodo r , como parcelas dos valores dos nodos q e f . E e M decrescem nos nodos q e f pelas frações de β e γ ,

Algorithm 3: Algoritmo SOINN [11]

```
1 contadorCamadas = 1
2 while (contadorCamadas ≤ 2) do
3   if (contadorCamadas == 1) ou (contadorCamadas == 2) then
4     Inicialize o conjunto A = c1, c2 com pesos aleatórios do padrão de entrada e o conjunto de conexões C = ∅
5     for Cada padrão ξi de treinamento do
6       Procure A determinando os nodos: s1 = argminc∈A || ξ - Ac || e s2 = argminc∈A \ s1 || ξ - Ac ||
7       if (||ξ - s1|| > Ts1) ou (||ξ - s2|| > Ts2) then
8         A = ξ
9       else
10        C = C ∪ (s1, s2), age(s1,i) = age(s1,i) + 1 (∀i ∈ Ns1), Es1 = Es1 + ||ξ - Ws1|| e Ms1 = Ms1 + 1
11        ΔWs1 = ε1(t)(ξ - Ws1), ΔWi = ε2(t)(ξ - Wi) (∀i ∈ Ns1) e remove conexões com idade > agedead
12        if (ξi for múltiplo de λ) then
13          q = arg maxc∈A Ec, f = arg maxc∈Nq Ec, A = A ∪ r, Wr = (Wq + Wf)/2.0 e Er = α1(Eq + Ef)
14          Mr = α2(Mq + Mf), Rr = α3(Rq + Rf), Eq = βEq', Ef = βEf, Mq = γMq' e Mf = γMf
15          if Rr > Ri then
16            C = C ∪ (r, q)(r, f) e C = C \ (q, f)
17          for Todos os nodos em A do
18            if Nodo possuir um vizinho e Mr < limiar adaptativo then
19              A = nodo
20    else
21      padrões de entrada = nodos
22    contadorCamadas = contadorCamadas + 1
23 while Todos os nodos (nós) estiverem classificados do // Antes, inicialize todos os nodos como NC
24   Escolha um nodo aleatório não classificado i em A, marque nodo i como classificado e rotule-o com Gi
25   Procure A nós Não Classificados (NC) ao nó i por 1 caminho, marque nós classificados e rotule-os com classe do nó i
```

visto que estes valores são divididos com o novo nodo r . Tais valores foram determinados em [11] através de uma análise de divisão de regiões de Voronoi: $\alpha_1 = 1/6$, $\alpha_2 = 1/4$, $\alpha_3 = 1/4$, $\beta = 2/3$ e $\gamma = 3/4$.

2.4 Colônia de Formigas

A Otimização Baseada em Colônia de Formigas ou Ant Colony Optimization (ACO) foi proposta Dorigo [12] e tem sido uma das técnicas bem sucedidas em Sistemas Inteligentes de Enxames [18]. Estes sistemas são inspirados a partir da colaboração do comportamento social dos animais, como pássaros, peixes e formigas, e sua incrível formação de bandos, enxames e colônias.

O Algoritmo 4 apresenta o funcionamento do ACO. Os feromônios (τ_{ij}) são inicializados por um valor constante (τ_0), ou seja, valores aleatórios dentro de um intervalo $[0, \tau_0]$. Pode-se observar, que n_k representa o número de formigas, $x^k(t)$ denota uma solução no tempo t , $f(x^k(t))$ expressa a qualidade da solução e $\eta = \frac{1}{d_{ij}}$, onde d_{ij} é a distância entre os nós i e j . O conjunto, N_i^k , define o conjunto de nós viáveis para k formiga quando localizada pelo nó i . Os demais parâmetros, podem ser encontrados na seção do algoritmo *Ant* K-médias por ser um algoritmo de agrupamento baseado nas colônias de formigas.

As formigas se comunicam entre si apenas de forma indireta através de seu ambiente, pela substância chamada feromônio, que são substâncias excretadas por organismos vivos e detectadas por outros indivíduos da mesma espécie, produzindo mudanças de comportamento específicos. Os feromônios atuam na comunicação intra-específica, ou seja, entre membros de uma mesma espécie. Assim, os caminhos com maiores níveis de feromônio serão mais prováveis de serem escolhidos e, portanto, reforçados, enquanto que a intensidade desta substância sobre os caminhos que não são escolhidos é reduzida pela evaporação. Esta forma de comunicação indireta é conhecida, e prevê à colônia de formiga a capacidade de encontrar o menor caminho ou percurso [19].

ACO tem sido aplicado com sucesso em muitas situações, como: problema do caixeiro viajante, problemas de horário, dentre outros [20]. Yuqing et al. [21] propuseram um novo algoritmo K-médias baseado na densidade e nas colônias de formigas. Este algoritmo solucionou o problema do mínimo local e a manipulação dos parâmetros iniciais sensíveis do K-médias.

Existe uma variedade de problemas de otimização que são solucionados por outro tipo de técnica inteligente baseada em enxames, a qual é definida pelo algoritmo de Otimização baseado em Partículas de Enxames (PSO, do inglês, *Particle Swarm Optimization*) [22]. PSO foi utilizado para treinamento de redes *Multi-layer Perceptrons* [23] e para otimização de redes *Multi-layer Perceptrons* com *weight decay* [24]. Alguns outros pesquisadores propuseram um agrupamento de genes usando a rede SOM e PSO [25]. Nesta combinação, foi desenvolvida uma abordagem de agrupamento híbrida. No algoritmo proposto por Xiao et al. [25], a taxa de convergência é melhorada pela adição de um fator de consciência para a rede SOM. A robustez do resultado é medida com a utilização de uma técnica de reamostragem. O método proposto SOM-PSO descrito por Xiao et

Algorithm 4: Algoritmo ACO [12]

```
1 Estabeleça  $t = 0$ , inicialize os parâmetros  $\alpha$ ,  $\beta$ ,  $\rho$ ,  $Q$ ,  $n_k$  e  $\tau_0$  e coloque todas as formigas,  $k = 1, \dots, n_k$ 
2 for Cada link  $(i, j)$  do
3    $\tau_{ij}(t) = U(0, \tau_0)$ 
4 repeat
5   for Cada formiga  $k = 1, \dots, n_k$  do
6      $x^k(t) = 0$ 
7     repeat
8       A partir do nó atual  $i$ , selecione o próximo nó  $j$  com probabilidade definida na equação abaixo
9       
$$P_{ij}^k(t) = \begin{cases} \frac{\tau_{ij}^\alpha(t)\eta_{ij}^\beta(t)}{\sum_u \tau_{iu}^\alpha(t)\eta_{iu}^\beta(t)} & \text{if } j \in N_i^k(t) \\ 0 & \text{caso contrário} \end{cases}$$

10       $x^k(t) = x^k(t)U(i, j)$ 
11      until O caminho completo estiver construído;
12      Calcular  $f(x^k(t))$ 
13    for Cada link  $(i, j)$  do
14      Aplicar a evaporação usando a equação:  $\tau_{ij}(t) \leftarrow (1 - \rho) * \tau_{ij}(t)$ 
15      Calcular  $\Delta\tau_{ij}(t)$  usando a equação:  $\Delta\tau_{ij}(t) = \sum_{k=1}^{n_k} \Delta\tau_{ij}^k(t)$ 
16      Onde,  $\Delta\tau_{ij}^k(t) = \begin{cases} \frac{Q}{f(x^k(t))} & \text{if link } (i, j) \text{ ocorrer no caminho } x^k(t) \\ 0 & \text{caso contrário} \end{cases}$ 
17      Atualizar o feromônio usando a equação:  $\tau_{ij}(t+1) = \tau_{ij}(t) + \sum_{k=1}^{n_k} \Delta\tau_{ij}^k(t)$ 
18    for Cada link  $(i, j)$  do
19       $\tau_{ij}(t+1) = \tau_{ij}(t)$ 
20     $t = t + 1$ 
21 until Condição de parada for verdadeira;
22 Retorna  $x^k(t) : f(x^k(t)) = \min_{k'=1, \dots, n_k} f(x^{k'}(t))$ 
```

al. preserva a estrutura de topologia da rede SOM e realiza tentativas de gerar um resultado de agrupamento mais compacto que a rede de Kohonen [14]. PSO foi utilizado para otimizar as topologias de *Extreme Learning Machines* [26] com sucesso. Várias topologias foram analisadas no estudo. Chu et al. [27] estenderam o algoritmo ACO para o processo de agrupamento de dados para solucionar alguns problemas nos métodos de agrupamento convencionais, ou seja, formas arbitrárias, agrupamentos com *outliers*, entre outros. O *Quadratic Distance Metric (QDM)* permite limitar a adição de feromônio e escolher um limite estratégico para melhorar os agrupamentos de dados.

2.5 Sistemas Híbridos

A motivação do desenvolvimento de Sistemas Híbridos (SHs) é que uma única técnica, pode não ser capaz de, sozinha, solucionar um dado problema. Assim, a combinação de duas ou mais técnicas podem conduzir a uma solução robusta e eficiente [2]. Neste artigo são descritos alguns SHs que se assemelham com os sistemas propostos nesta pesquisa.

Vesanto e Alhoniemi propuseram uma técnica de agrupamento que combina SOM [14] e K-médias [13], os autores mostraram em seu artigo diferentes abordagens para o agrupamento de dados usando SOM. O método proposto [8] é formado por dois estágios: o primeiro usa SOM para produzir os protótipos iniciais, os quais são posteriormente agrupados, no segundo estágio, pelo K-médias. Portanto, os resultados observados neste artigo comprovam que o agrupamento usando SOM como uma etapa intermediária foi computacionalmente eficaz, ou seja, apresentou um bom desempenho quando comparado com os resultados obtidos diretamente a partir dos dados (e.g. SOM e K-médias de forma isolada). O uso do SOM antes do K-médias minimizam as dificuldades do K-médias, que são: escolha inicial dos centróides, quantidade de centróides a serem informados, entre outros.

Em virtude dos problemas apresentados por Vesanto e Alhoniemi [8] e com a perspectiva de uma melhora crescente no sistema híbrido para o reconhecimento de padrões, Kuo et al. propuseram um novo método de agrupamento, que se baseia nas colônias de formigas, conhecido na literatura como AK para a análise de agrupamento de dados [28]. AK modifica K-médias localizando os objetos e em seguida agrupando-os de acordo com uma probabilidade. Esta probabilidade é atualizada a partir de um determinado feromônio conforme o Total de Variância dentro do Agrupamento (TWCV, do inglês, *Total Within Cluster Variance*). Os resultados alcançados em [28], mostram que AK é melhor em sua eficiência e desempenho do que outros dois métodos: SOMK e a combinação da rede SOM seguida do algoritmo K-médias genético (SOMGK) [28]. O AK é um método de agrupamento robusto, porém, apresenta ainda alguns problemas os quais dizem respeito ao número de agrupamentos, que é requerido *a priori* da mesma forma que o algoritmo K-médias convencional.

O sistema híbrido SOMK é composto por 2 Níveis de Abstração. O primeiro nível é a rede SOM e o segundo o algoritmo K-médias. A Figura 5 apresenta o funcionamento deste sistema híbrido de forma mais bem definida, lembrando que o segundo

nível é o algoritmo de agrupamento K-médias. Assim, é indispensável substituir este método de agrupamento com a finalidade de suprir deficiências como: saber *a priori* o número de agrupamentos do algoritmo K-médias e informar os centróides iniciais com SOMK. Onde, o k inicial é igual ao número de classes da base de dados a ser usada.

A seleção de um bom modelo de previsão de uma série temporal é uma tarefa que envolve experiência e conhecimento. Sistemas híbridos foram utilizados com sucesso para combinar previsões de séries temporais. O sistema híbrido usa recursos das séries em questão para definir pesos adequados para os métodos de previsão individuais que estão sendo combinados. As previsões combinadas são a média ponderada das previsões fornecidas pelos métodos individuais [29]. O método híbrido conseguiu obter previsões significativamente precisas. Uma outra solução utilizando sistema híbrido foi aplicado na tarefa de selecionar os melhores modelos de previsão entre modelos amplamente difundidos na literatura [30].

2.5.1 Algoritmo de Agrupamento baseado nas Colônias de Formigas (ASCA)

Kuo et al. [28] propuseram um Algoritmo de Agrupamento baseado em Colônias de Formigas (ASCA). ASCA possui quatro subprocedimentos, que são: *dividir*, *aglomerar objetos*, *aglomerar* e *remover*. A seguir, o procedimento ASCA será descrito em detalhes. Primeiro o algoritmo inicializa os parâmetros e agrupa todos os objetos ou dados em um único agrupamento, então, no segundo passo do algoritmo, o sub-procedimento *dividir* irá dividir este único agrupamento em sub-agrupamentos. Terceiro, depois de *dividir*, a próxima etapa deste algoritmo ASCA é a execução do sub-procedimento *aglomerar objetos*; com o propósito de agrupar os objetos dentro de sub-agrupamentos adequados. Em quarto lugar, o sub-procedimento *aglomerar* integra dois sub-procedimentos iguais em um único agrupamento. Logo em seguida, executa o sub-procedimento *aglomerar objetos* novamente. Depois de agrupar os objetos similares dentro de sub-procedimentos adequados, o sub-procedimento *remover* excluirá objetos que não são similares. Desse modo, calcula o total de variância, TWCV, dentro de cada agrupamento. Se TWCV não for modificado, agrupa os objetos que ainda não foram agrupados para o próximo agrupamento e pára o algoritmo ASCA. Do contrário, repete os sub-procedimentos na seguinte seqüência: *dividir*, *aglomerar objetos*, *aglomerar*, *aglomerar objetos* e *remover*, até quando TWCV não for modificado. O algoritmo ASCA [31] podem ser encontrados nas Figuras 2 e 3.

Procedimento ASCA

Inicializa os parâmetros.
Agrupar todos os objetos como um agrupamento.

Faça

Dividir para todas as k formigas.
Aglomerar objetos para todas as k formigas.
Aglomerar para todas as k formigas.
Aglomerar objetos para todas as k formigas.
Remover para todas as k formigas.
Agrupar os objetos não agrupados como um agrupamento.
Calcular TWCV (Total Within Cluster Variance).

Enquanto (TWCV não modificar)

Agrupar os objetos os quais não forem agrupados para o próximo grupo.

Procedimento Dividir

Estabelecer feromônio sobre o caminho pelo η_{ij} para todos

i e j , $i \neq j$.

Calcular $\bar{\tau}$.

Atualizar feromônio pelo

$$\tau_{ij} \leftarrow (1 - \rho)\tau_{ij} + \Delta\tau_{ij} = \begin{cases} \frac{1}{d_{ij}} & \text{se } \tau_{ij} > \bar{\tau} \\ 0 & \text{outro caso} \end{cases}$$

Para todos i e j , $i \neq j$.

Calcular $\bar{\tau}_i$ para todos $i = 1, 2, 3, \dots, n$.

Cada k formiga começa com o objeto i o qual

$i = \text{Max}\{\bar{\tau}_i \mid i = 1, 2, 3, \dots, n\}$, se o objeto i tiver sido armazenado por outra formiga, k formiga pára de buscar.

Cada k formiga armazena objetos j se $\tau_{ij} \geq \bar{\tau}$ enquanto

$k = 1$ até m .

Se o número de objetos armazenados por k formigas é maior que θ , k formiga continua armazenando objetos j , ou liberando o conjunto de objetos j , exemplo:

Se $\tau_{ij} \geq \bar{\tau}$ Onde $i \in T_k, j \in \{n - T_k \mid k = 1, 2, 3, \dots, m\}$

Se não Libera o conjunto de objetos j .

Figura 2: O procedimento ASCA.

2.5.2 Ant K-médias

A idéia do algoritmo Ant K-médias (AK) é realizar os agrupamentos finais dos modelos SOM, ASCA e SOINN. Uma vez que SOM, ASCA e SOINN são aplicados no primeiro nível de abstração encontrando os protótipos ou centróides. Existe também, o procedimento perturbação dentro de AK que é útil para saltar a solução do mínimo local. O algoritmo AK produziu resultados

Procedimento Aglomerar objetos

Estabeleça C para ser o colecionador o qual armazena O_j para T_k com a seguinte equação.

Estabeleça $C = \phi$.

Se O_j satisfaz com a seguinte equação, por exemplo.

$$D(O_{center}(T_k), O_j) \geq D_{mean}(T_k) + 3Dev(T_k)$$

onde $j \in \{n - T_k \mid k = 1, 2, \dots, m\}$, adiciona O_j para C .

Se não $C = \phi$.

Se ($C \neq \phi$)

Se ($C < 2$) Atribui O_j para T_k .

Se não ($C \geq 2$) Atribui O_j para T_k se a distância de

$O_{center}(T_k)$ e O_j é mínimo.

Se não continue.

Procedimento Aglomerar

Faça

Estabeleça C para ser o colecionador o qual armazena T_k para ser satisfeita com a seguinte equação.

Estabeleça $C = \phi$.

Se T_k satisfaz com a seguinte equação, por exemplo.

$$D(O_{center}(T_{k_i}), O_{center}(T_{k_j})) \leq D_{mean}(T_{k_i}) + D_{mean}(T_{k_j}) - \mathcal{E}Dev(T_{k_i}) - \mathcal{E}Dev(T_{k_j})$$

Para todos k_i e k_j , $k_i \neq k_j$, $i, j = 1, 2, \dots, m$ adiciona T_k em C .

Se não $C = \phi$.

Se ($C \neq \phi$)

Se ($C < 2$) Aglomera T_{k_i} e T_{k_j} como um agrupamento.

Se não ($C \geq 2$) Aglomera T_{k_i} e T_{k_j} como um

agrupamento se a distância de $O_{center}(T_{k_i})$ e

$O_{center}(T_{k_j})$ é mínimo.

Se não continue.

Enquanto (Não existir mais agrupamento pode ser aglomerado)

Procedimento Remove

Remove objeto j a partir de k formiga se $D(O_j, O_{center}(T_k)) > 2Dev(T_k)$, onde $j \in T_k$ e $T_k = 1, 2, \dots, m$.

Figura 3: Continuação do procedimento ASCA.

significativos, no que diz respeito ao problema de agrupamento. Então, o objetivo inicial foi usar o método de agrupamento que é formado em dois estágios (SOMAK), a fim de obter a taxa de erro baseada na entropia e o tempo computacional menor quando comparado com SOMK. Neste método, é necessário fornecer o número de agrupamentos tal como o algoritmo K-médias convencional. Os termos e notações abaixo serão usados durante o algoritmo. Seja

$$E = O_1, O_2, \dots, O_n \quad (3)$$

o conjunto de n dados (ou objetos), onde O são objetos (dados, padrões ou amostras) colecionados a partir da base de dados, em que cada objeto tem A atributos, onde $A > 0$, como mostrado na Tabela 1. Alguns parâmetros importantes, como: α : a importância relativa da trilha ($\alpha \geq 0$), β : a importância relativa da visibilidade ($\beta \geq 0$), ρ : o parâmetro de decaimento do feromônio ($0 < \rho < 1$), Q : uma constante ($Q > 0$), n : número de objetos, m : número de formigas, nc : número de agrupamentos e T : conjunto que inclui objetos usados, onde o número máximo armazenado pelo vetor T será de n , ou seja,

$$T = O_a, O_b, \dots, O_t \quad (4)$$

onde a, b, \dots, t são pontos que as formigas têm visitado. T_k : conjunto T construído por k formigas e $O_{center}(T)$: centro de todos os objetos em T , onde nT representa o número de objetos em T , ou seja,

$$O_{center}(T) = \frac{1}{nT} \sum_{i=1}^n O_i \quad (5)$$

TWCV: variância total dentro do agrupamento, ou seja,

$$\sum_{k=1}^{nc} \sum_{i=1}^n (O_i - O_{center}(T_k))^2 \quad (6)$$

A primeira etapa do algoritmo é a inicialização dos parâmetros, isto é, a inclusão do número de agrupamentos e seus respectivos centróides. Depois, é necessário estabelece igualdade de feromônio para cada caminho e na terceira etapa, cada k formiga escolhe o centróide mais perto para se mover com a probabilidade P .

$$P_{ij}^k = \frac{\tau_{ij}^\alpha \eta_{ij}^\beta}{\sum_c \tau_{ic}^\alpha \eta_{ic}^\beta} \quad (7)$$

Tabela 1: A representação do conjunto de dados [28]

Objects	A_1	A_1	...	A_1
O_1	1.22	32.5	...	56.4
\vdots	\vdots	\vdots	...	\vdots
O_n	55.6	5.6	...	8.4

onde i representa o ponto inicial e j o final (centróide) para onde a k formiga escolhe se mover, c é o centróide e nc é o número de centróides. No entanto, se o valor de P_{ij} é maior do que os outros, a k formiga se moverá do ponto i para j , e o objeto i pertence ao centróide j . Finalmente, o feromônio é atualizado pela Equação (8).

$$\tau_{ij} \leftarrow \tau_{ij} + \frac{Q}{TWCV} \quad (8)$$

onde Q representa uma constante, $TWCV$ é total de variância dentro do agrupamento. Então, é necessário calcular o centro de todos os objetos em T , onde $k = 1, 2, 3, \dots, nc$. Depois, calcular $TWCV$. Por último, se $TWCV$ for alterado, volta-se para a terceira etapa; caso contrário, se $TWCV$ é menor do que o menor $TWCV$, substitua. Em seguida, execute o procedimento perturbação afim de saltar a solução do mínimo local. Se o número de iterações não é atingido, faz-se necessário voltar para terceira etapa; caso contrário, pare o algoritmo. Figura 4 mostra o procedimento *Ant* K-médias.

Procedimento Perturbação
 Cada Formiga começa com o objeto aleatório e escolhe o centróide aleatoriamente do agrupamento para mover todas as k formigas.
 Calculando $O_{centro}(T_k)$ onde $k = 1, 2, \dots, nc$ e $TWCV$.

Procedimento *Ant* K-médias
 Entrar com o número de agrupamentos e os centróides correspondentes, e o conjunto de parâmetros α, β, ρ , número de iterações e formigas.
 Estabeleça igualdade de feromônio para cada caminho.
Enquanto (o número de iterações não é satisfeito)
Faça
 Atualizando o feromônio por $\tau_{ij} \leftarrow \tau_{ij} + \frac{Q}{TWCV}$.
 Cada k formiga escolhe o centróide para mover com P , ou seja,

$$P = \frac{\tau_{kc}^\alpha \cdot \eta_{kc}^\beta}{\sum_{i=1}^{nc} (\tau_{ki}^\alpha \cdot \eta_{ki}^\beta)}$$

 Calcular $O_{centro}(T_k)$ onde $k = 1, 2, \dots, nc$.
 Calcular $TWCV$ (Total de Variância dentro do Agrupamento).
Enquanto ($TWCV$ não for modificado)
Se $TWCV$ menor do que o menor $TWCV$, substitua.
Procedimento Perturbação

Figura 4: O procedimento *Ant* K-médias [28]

2.6 Parâmetros

Os parâmetros considerados neste trabalho afetam as técnicas de agrupamento, citadas anteriormente para solucionar o problema de agrupamento. De acordo com [12], existem diversas combinações para determinar os parâmetros aplicados ao algoritmo de colônia de formigas. Normalmente, os parâmetros são $\alpha = 0, 0.5, 1, 2, 5$; $\beta = 0, 1, 2, 5$; $\gamma = 0.3, 0.5, 0.7, 0.99, 0.999$ e $Q = 1, 100, 10000$. Existem 300 combinações de parâmetros, os resultados mostraram em [32], que $\alpha = 0.5$, $\beta = 1$, $\rho = 0.9$ e $Q = 1$ apresentam a menor variância para dados estatísticos. A Tabela 2 mostra os parâmetros das técnicas de agrupamento.

Tabela 2: Parâmetros das Técnicas de Agrupamento

Técnicas	Parâmetros
	número de atributos = quantidade dos padrões de entrada, taxa de aprendizagem inicial = 0.5 e final = 0.99, tamanho das linhas do mapa = 19 e colunas = 17,
SOM	raio inicial = 10 e final = 2, função de vizinhança = gaussiana, formato da vizinhança = hexa, tipo de treinamento = épocas, tamanho do treinamento para fase <i>rough</i> = 3 e fase <i>fine-tuning</i> = 10
SOINN	limiares de similaridade, TAA e fatores de decaimento de E, M e R
K-médias	k = número de agrupamentos iniciais e inicialização (ini.) dos k centros
ASCA	$\epsilon = rand(0, 1)$ e $\theta = 1000$
SOMK	$k = n^\circ$ de protótipos SOM e ini. dos centros = número de centróides SOM

3 Métodos Propostos

3.1 Arquitetura Geral

Neste trabalho, os métodos propostos baseado em dois estágios são relevantes para melhorar as principais deficiências de um método baseado em um estágio (e.g. K-médias), que tem se mostrado sensível aos protótipos iniciais e à determinação de um número apropriado de k agrupamentos. O funcionamento de um método baseado em dois estágios tem como propósito suprir as dificuldades que uma técnica de agrupamento apresenta individualmente. Assim, pesquisadores em [8] têm combinado duas ou mais técnicas distintas para solucionar um dado problema de agrupamento. Primeiro, um conjunto grande de protótipos é formado usando as redes neurais não-supervisionada (SOM e SOINN) e o algoritmo ASCA. Os protótipos podem ser interpretados como *proto-agrupamentos* que são, na próxima etapa, combinados para formar os agrupamentos finais. Cada vetor de dados do conjunto de dados original pertence ao mesmo agrupamento com seu protótipo mais próximo. A Figura 5 retrata a arquitetura do método de agrupamento baseado em dois estágios [8], mostrando os dois níveis de abstração. O primeiro nível de abstração pode ser (a rede neural auto-organizável, o algoritmo ASCA e a rede neural incremental auto-organizável) e o segundo nível de abstração é o algoritmo Ant K-médias, o qual tem a responsabilidade de formar os agrupamentos finais ou definitivos.

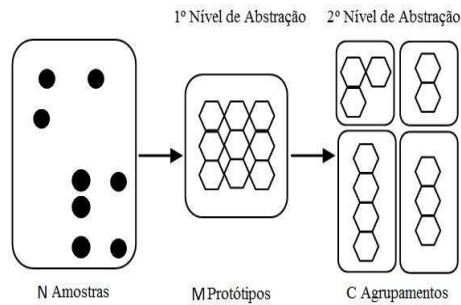


Figura 5: Primeiro nível é obtido através da criação de um conjunto de vetores de protótipos usando SOM, ASCA e SOINN. Os métodos propostos SOMAK, ASCAK e SOINAK criam o segundo nível realizando o agrupamento dos M protótipos.

Considere N (amostras de dados) utilizando o algoritmo Ant K-médias, AK, (Figura 4). Isto implica fazer, tentativas de agrupamentos com diversos valores para o número de protótipos que foram obtidos pela rede SOM, o algoritmo ASCA e a rede incremental SOINN. A complexidade computacional é proporcional a $\sum_{k=2}^{C_{max}} Nk$, onde C_{max} é o número máximo pré-estabelecido de agrupamentos e k representa o número de agrupamentos iniciais. Quando um conjunto de protótipos é usado em uma etapa intermediária (Figura 5 - 1º Nível de Abstração), a complexidade é proporcional a $NM + \sum_{k=2}^M Mk$, onde M é o número de protótipos obtidos. Com $C_{max} = \sqrt{N}$ e $M = 5\sqrt{N}$, a redução do custo computacional é baseada $\frac{\sqrt{N}}{15}$, ou cerca de seis-folds para $N = 1000$ amostras de dados [8]. Neste trabalho, usamos dez-folds e $N = 1000$ para a realização dos experimentos. Evidentemente que esta é uma estimativa, e considerações práticas e experimentais são ignoradas.

3.2 SOMAK

Pelo fato do algoritmo AK apresentar resultados significativos quando comparado com os métodos de agrupamento SOMK e SOMGK, Souza et al. propuseram o algoritmo SOMAK [9] [10] com o propósito de realizar uma análise de agrupamento dos dados e, assim, obter resultados mais significativos do que os já apresentados na literatura. A principal vantagem do sistema híbrido SOMAK está em sua fase inicial, ou seja, o pré-processamento dos dados apresentados para o algoritmo AK. Tal pré-processamento é feito pela rede SOM, enfatizando a utilização de AK no segundo nível, SOMAK tem mostrado resultados significativos. A arquitetura deste método de agrupamento pode ser vista na Figura 5. SOMAK utiliza SOM como método de primeiro estágio sobre os dados de entrada, ao invés de agrupar os dados diretamente.

No estudo atual, o número de agrupamentos e o centróide de cada agrupamento são gerados a partir da rede SOM, a fim de validar a solução de análise de agrupamento. SOMAK usa SOM com o propósito de determinar o número de agrupamentos e os pontos iniciais, depois, aplica o procedimento AK para encontrar a solução final.

3.3 ASCAK

Com a crescente busca de melhoria no sistema híbrido para o reconhecimento de padrões e a necessidade de substituir o método de agrupamento SOMAK com a perspectiva de se obter resultados mais promissores, um novo método de agrupamento, baseado em dois estágios, foi aplicado combinando os algoritmos ASCA e o AK (ASCAK). O algoritmo ASCA [28] possui basicamente quatro sub-procedimentos, que são: *dividir*, *aglomerar objetos*, *aglomerar* e *remover*, descrito nas Figuras 2 e 3. Assim, deve-se ressaltar que não encontrará um agrupamento ótimo para os dados, mas obterá uma visão sobre a estrutura de agrupamento dos dados, usando o sistema híbrido ASCAK, com a finalidade de reduzir o tempo computacional e o desempenho quando comparado com outras técnicas de agrupamento (SOMK e SOMAK).

Realizamos uma pesquisa criteriosa na literatura e observamos que o algoritmo ASCA tem mostrado resultados melhores quando comparado com SOM [31]. Assim, ASCAK foi proposto neste trabalho e a única diferença entre os métodos de agrupamentos SOMAK e o ASCAK é à fase de pré-processamento dos dados, em que o algoritmo ASCA substituiu SOM.

3.4 SOINAK

A rede neural SOINN tem duas maneiras possíveis de funcionamento. Na primeira, a rede neural incremental SOINN é inicialmente utilizada para determinar o número de grupos e, na segunda, os centros dos grupos iniciais são informados para AK. O centro inicial de um grupo pode ser obtido a partir do vetor peso correspondente aos centros dos grupos sobre a topologia de SOINN. O método utilizado no segundo estágio é o AK, e a principal vantagem de um método de dois estágios baseado em SOINN é diferenciada quando comparada à combinação dos modelos apresentados (SOMK, SOMAK e ASCAK), isto é, o fato que não é necessário saber, *a priori*, o número de agrupamentos de K-medias (ou AK) e outro benefício importante é que não necessita informar os centróides iniciais.

Visando sempre um sistema híbrido de reconhecimento de padrões aplicado ao problema de agrupamento o mais automático possível e a redução da quantidade de parâmetros para que o usuário realize a configuração mais adequada, visto que, é necessário que o mesmo configure uma série de parâmetros para serem informados a rede SOM, ficando sem uma confiança adequada de melhor configuração da rede. Em virtude de todas essas deficiências apresentadas, Furo e Hasegawa [11] propuseram SOINN, com o intuito de realizar uma aprendizagem não-supervisionada dos dados e suprir estas deficiências.

O SOINN se propõe a ser uma rede de representação topológica, que gera grupos de dados correlacionados e que podem ser capazes de realizar aprendizado de forma incremental. SOINN usa uma quantidade de parâmetros menor, quando comparada à SOM, onde quanto maior for a quantidade de parâmetros para o usuário configurar, menor será a chance deste sistema híbrido apresentar resultados significativos. Portanto, SOINAK busca obter melhores resultados. Tal qual o ASCAK, a diferença que existe entre o SOMAK e o SOINAK é a fase de pré-processamento dos dados, visto que a rede SOINN substituiu SOM.

3.5 Considerações

O objetivo deste trabalho foi propor os métodos de agrupamentos SOMAK, ASCAK e SOINAK, criado como dois níveis de abstrações, utilizado no agrupamento dos dados. O primeiro nível de abstração usado no agrupamento de dados tem algumas vantagens. O conjunto de dados original é representado através de um conjunto menor de vetores protótipos, permitindo uma utilização eficiente dos algoritmos de agrupamento para dividir os protótipos em grupos. Depois, aplicar redes neurais auto-organizáveis e o ASCA possibilitando apresentação visual e a interpretação dos agrupamentos. A Tabela 3 mostra os parâmetros principais dos métodos propostos deste trabalho.

Tabela 3: Parâmetros principais dos Métodos Propostos [32]

Técnicas	Parâmetros
SOMAK	$\alpha = 0.5, \beta = 1, \gamma = 0.9, Q = 1, n = 500, m = 2$ e $nc = n^\circ$ de protótipos SOM
ASCAK	$\alpha = 0.5, \beta = 1, \gamma = 0.9, Q = 1, n = 500, m = 2$ e $nc = n^\circ$ de protótipos ASCA
SOINAK	$\alpha = 0.5, \beta = 1, \gamma = 0.9, Q = 1, n = 500, m = 2$ e $nc = n^\circ$ de protótipos SOINN

4 Materiais e Métodos

4.1 Conjunto de Dados

Esta seção descreve os conjuntos de dados usados neste trabalho, que são: dados sintéticos e dados reais. Estes conjuntos são úteis para comprovar que os métodos propostos são realmente robustos, podendo ser aplicáveis a diferentes problemas de agrupamento, visto que, abordamos os diferentes dados.

A escolha dos dados sintéticos ocorreu utilizando a ferramenta *PRTools4 A Matlab Toolbox for Pattern Recognition* [33], que fornece controle e detalhes destas bases, visando atingir problemas simples e complexos. Quanto as bases reais extraídas do repositório UCI [34] usamos as bases *Balance Scale* e *Contraceptive Method Choice* para teste experimental, onde queríamos observar como os métodos propostos se comportariam com estas bases de três classes ou grupos. Já com relação às demais bases reais usamos por serem encontradas na literatura para feitos de agrupamento. Os dados possuem baixa dimensão, várias instâncias e poucos grupos.

4.1.1 Dados Sintéticos

Dados gerados segundo regras que permitam garantir determinadas propriedades nos dados, validando sua resposta em situações de teste controlado, para que os métodos de agrupamentos implementados possam ser aferidos. Os dados são gerados pelo método Monte Carlo [35] e [36] visando validar a viabilidade dos métodos e termos uma maior confiabilidade nos dados. Assim, a taxa de erro e a variância dentro dos agrupamentos podem ser obtidas de forma a validar as soluções dos métodos de agrupamentos.

Da segunda base de dados em diante, *A* representa os dados que são gerados pela ferramenta *PRTools4* e *N* o número de amostras que foram obtidas pelo vetor, com o número de amostras por classe. $N = [500, 500]$ representa 1000 padrões de dados. A seguir serão descritas as cinco bases de dados sintéticas. A base de dados *Lines* possui 1000 padrões, que foram obtidos através do Método Monte Carlo, que agrupou em sua solução final 10 segmentos, ou seja, 10 grupos iniciais para o conjunto de dados. Na base de dados *Banana*, *A* representa duas dimensões e duas classes de *N* objetos, apresentando uma distribuição em forma de

banana. Assim, seus respectivos dados (padrões) são distribuídos uniformemente ao longo de uma banana e está sobreposta com uma distribuição normal de desvio padrão S , em todas as direções $S = 1$. Na base de dados *Highleyman* a geração do conjunto de dados A representa duas dimensões e duas classes de N objetos definidas como: (a) Geração de 500 padrões de dados para cada uma das duas distribuições com média 1 e 0 e variâncias 0 e 0.25 de uma dimensão (Gaussiana) e (b) Geração de 500 padrões de dados para cada uma das duas distribuições com média 0.01 e 0 e variâncias 0 e 4 de uma dimensão (Gaussiana).

O *Simple Problem* (problema simples de classificação) apresenta duas dimensões e duas classes. As classes têm distribuições gaussianas com uma matriz identidade como matriz de covariância. As médias, se encontram numa distância D (distância entre as médias das classes na primeira dimensão). A base *Spherical* contém duas classes esféricas com variâncias diferentes. As duas classes têm distribuições gaussianas em forma de uma esfera, Classe 1 representa uma matriz identidade como matriz de covariância e média U . Se a média U é um escalar, então $[U, 0, 0, \dots]$, assim, sendo útil como média de classe e Classe 2 representa da mesma forma que a Classe 1, exceto para uma variância de 4 para o primeiro de duas características com média 0.

4.1.2 Dados Reais

Os dados reais usados neste artigo foram obtidos do repositório UCI [34] e são: *Balance Scale*, *Contraceptive Method Choice*, *Dermatology*, *Diabetes* e *Glass*.

1. *Balance Scale*: Dados gerados como resultado experimental de modelos psicológicos, onde o exemplo é classificado como tendo o equilíbrio da escala para a ponta direita, ponta esquerda ou ser equilibrado. A base de dados é formada por 625 registros com 4 atributos e que correspondem às informações da escala de equilíbrio (balança). A análise dos dados foram realizadas a partir de um algoritmo que gerou resultados entre 1 e 3, sendo assim: (a) valor 1 representa que a escala está balanceada com 49 registros (7.84%), (b) valor 2 representa que a escala está à esquerda com 288 registros (46.08%) e (c) valor 3 representa que a escala está à direita com 288 registros (46.08%).
2. *Contraceptive Method Choice* (CMC): Método contraceptivo (sem uso, métodos de longo prazo e métodos a curto prazo, são os atributos de classe) de uma mulher com base nas suas características econômicas e sócio-demográficas. Estes dados apresentam um subconjunto da pesquisa nacional de métodos contraceptivos da indonésia em 1987, as amostras são mulheres casadas que não estão grávidas ou não estavam no momento da entrevista. Os dados são formados por 1473 registros com 9 atributos de entrada e um atributo de classe que corresponde as informações de um método contraceptivo.
3. *Dermatology*: A base de dados é formada por 366 registros com 33 atributos e correspondem à informações em um problema real de dermatologia. A análise dos dados foram realizadas a partir de um algoritmo que gerou resultados entre 1 e 6, sendo assim: (a) valor 1 indica que o paciente possui psoríase com 112 registros (30.60%), (b) valor 2 indica que possui dermatite seborréica com 61 registros (16.66%), (c) valor 3 indica que possui o plano líquen com 72 registros (19.67%), (d) valor 4 indica que possui pitiríase rósea com 49 registros (13.38%), (e) valor 5 indica que possui dermatite crônica com 52 registros (14.20%) e (f) valor 6 indica que possui pitiríase rubra pilar com 20 registros (5.49%).
4. *Diabetes*: Base conhecida na UCI como *Pima Indians Diabetes Data Set*, extraída de dados pessoais e exames médicos de pacientes. Usada para a classificação de uma índia Pima ser diabética. Todos os pacientes são mulheres com a idade mínima de 21 anos, USA. Os dados são formados por 768 registros com 8 atributos contínuos e que correspondem às informações médicas. A análise dos dados foram realizadas a partir de um algoritmo, que gerou resultados contínuos, que foram transformados em valores binários entre 0 e 1 com valor de corte = 0.448, sendo assim: (a) valor 0 paciente não possui diabetes com 500 registros (65.1%) e (b) valor 1 possui diabetes com 268 registros (34.9%).
5. *Glass*: Base extraída a partir dos serviços de ciência da *Forensic, USA*. Nestes dados foi realizado um teste comparativo de um sistema baseado em regras BEAGLE, através do algoritmo de vizinho mais próximo e análise discriminante, com o objetivo de determinar se o vidro pertence a um tipo "float" ou não, os resultados obtidos foram: janelas processadas com o tipo "float"(87) e janelas que não foram processadas com o tipo "float"(76). Esta base é formada por 214 registros com 11 atributos contínuos (incluindo o atributo de classe) e que correspondem às informações de vidro.

4.2 Pré-processamento

A técnica de pré-processamento de dados é um processo de transformação dos dados de entrada em dados mais específicos, para serem usados para a extração de características e eliminação de ruídos. Para que o treinamento das redes neurais SOM e SOINN sejam eficientes e tenham uma maior rapidez, é aconselhável fazer uma transformação dos dados para um intervalo bem definido. Os dados com atributos diferentes podem fazer uma confusão no aprendizado da rede, resultando maiores considerações para valores com grandes magnitudes. A técnica de normalização evita este problema, transpondo os dados em intervalos bem definidos. Existem diferentes normalizações, tais como: logarítmicas, tangente hiperbólica, entre outras. Vários são os tipos de normalizações, depende do objetivo que se pretende atingir com as RNAs. Os intervalos comumente vistos são entre 0 a 1 ou -1 a 1. Neste trabalho, os experimentos foram realizados com os padrões (sintéticos e reais) normalizados, usando a técnica de normalização para que os valores ficassem dispostos entre -1 e 1; onde x_{norm} é o valor normalizado correspondente ao valor original x . x_{min} e x_{max} são os valores de mínimo e máximo entre os padrões de entrada das RNAs.

$$x_{norm} = \frac{(2x - x_{max} - x_{min})}{(x_{max} - x_{min})} \quad (9)$$

4.3 Divisão dos padrões em Treino e Teste

Para solucionar o problema de agrupamento através da utilização das redes neurais SOM e SOINN com o treinamento não-supervisionado, não se faz necessário a utilização dos dados que correspondam a pares de entrada-saída já conhecidos. A divisão dos conjuntos em treinamento e teste não tem a ver com o tamanho do conjunto e sim com a necessidade de um conjunto independente para testar o desempenho da rede. O treinamento das RNAs são realizados com os dados de treino. Assim, é importante medir o desempenho da rede com um conjunto de dados independente, conhecido como conjunto de teste. A avaliação feita a partir do conjunto de teste mede o grau de generalização da rede neural para o problema abordado.

A técnica de validação cruzada (do inglês, *cross-validation*) foi desenvolvida na ferramenta MATLAB [37], usando o conceito básico da validação cruzada, que é dividir o conjunto de dados original em dados de treinamento e teste. Neste trabalho foram realizados 10 partições de dados (*10-folds*), cada uma destas partições consiste da mesma base de dados, porém com suas instâncias dispostas em ordens diferentes (aleatórias). Por exemplo, um classificador é treinado usando um subconjunto formado pela junção de 9 destes grupos e testado usando o grupo remanescente. Isto é feito 10 vezes, e cada vez um grupo diferente é usado como conjunto de teste, e computa-se o erro do conjunto de teste, E_i . Finalmente, o erro da validação cruzada é computado como a média sobre os 10 erros E_i , $1 \leq i \leq 10$. O uso da validação cruzada ajuda a eliminar o viés dos resultados.

Com relação aos *10-folds cross-validation*, um padrão do conjunto de teste é atribuído a cada grupo. Primeiro, é realizado o cálculo do centróide através da distância euclidiana, onde cada padrão é avaliado com as classes ou grupos informados das bases de dados. Segundo, é atribuído o padrão ao centróide mais próximo dos grupos (calcula-se a distância euclidiana entre o padrão e os centróides dos grupos), ou seja, o padrão pertencerá ao grupo que apresentou a menor distância entre o padrão e todos os centróides dos grupos, assim os elementos do conjunto de teste são atribuídos aos grupos.

4.4 Aspectos observados

Os métodos usados para solucionar o problema de agrupamento foram implementados na linguagem MATLAB. SOM usou o algoritmo de treinamento seqüencial para os conjuntos de dados ¹.

A definição dos k centróides iniciais para os métodos de agrupamentos neste trabalho é igual ao número de classes das bases de dados iniciais com o propósito de solucionar o problema de agrupamento de dados.

Para medir a acurácia dos métodos de agrupamentos neste trabalho, foi usada a medida de entropia. A motivação para o uso da entropia como medida de desempenho surge da capacidade que esse conceito estatístico possui de medir o grau de aleatoriedade (ou de incerteza) dos dados, além disso, esta medida tem sido aplicada para avaliar os métodos de agrupamentos em dois estágios [8], também foram usados para medir o grau de desordem de um determinado método de agrupamento e finalmente, avaliar a qualidade de um método.

Antes de encontrar a taxa de erro baseada na entropia, foi feita uma verificação dos *labels* dos protótipos obtidos dos métodos de agrupamentos com os *labels* dos padrões da base de dados. Se for classificado corretamente, ou seja, se os *labels* dos protótipos é igual aos *labels* dos padrões, então incrementa o valor de m_i , caso contrário, incrementa o valor de m_{ij} .

Quando temos informações externas dos dados, tipicamente em forma de rótulos de classe derivados dos dados; o procedimento usual é medir o grau de correspondência entre os rótulos de *cluster* e os de classe. Visando os rótulos de classe, faz-se necessário descobrir o foco em realizar uma Análise de *Cluster* (AC). As motivações são de realizar comparações entre técnicas de agrupamento ou avaliar o grau em que um processo de classificação manual pode ser automaticamente produzido pela AC.

Dois diferentes tipos de abordagens são citados em [39]. O primeiro conjunto de medidas de desempenho usados para avaliar as técnicas com o objetivo de solucionar o problema de agrupamento são: entropia, pureza e a *F-measure*. Estas medidas avaliam a extensão a qual um *cluster* contém objetos de uma única classe. O segundo grupo de medidas é relacionado com a medida de similaridade para dados binários, como a medida de *Jaccard*. Este grupo de medidas de desempenho abordam a extensão a qual dois objetos que estão na mesma classe são do mesmo *cluster* e vice versa. Para conveniência, estes dois tipos de medidas são referenciados como orientado a classificação e a similaridade respectivamente.

A medida de erro usada na análise dos resultados é a entropia, onde para cada agrupamento, a distribuição de classe de dados é primeiramente calculada, ou seja, para o agrupamento j computamos p_{ij} , a probabilidade que um membro do agrupamento i pertence à classe j como: $p_{ij} = \frac{m_{ij}}{m_i}$, onde m_i é o número de objetos no agrupamento i e m_{ij} é o número de objetos da classe j no agrupamento i . Utilizando esta distribuição de classe, a entropia de cada agrupamento i é calculada usando a fórmula padrão [39], $e_i = -\sum_{j=1}^L p_{ij} \log_2 p_{ij}$, onde L é o número de classes. A entropia total para um conjunto de agrupamentos é calculada como sendo o somatório das entropias de cada agrupamento pelo tamanho de cada agrupamento, ou seja, $e = \sum_{i=1}^K \frac{m_i}{m} e_i$, onde K é o número de agrupamentos e m é o número total de padrões de dados.

Assim, os aspectos observados ao final do treinamento e que definiram o desempenho das abordagens estudadas foram os seguintes: percentagem da entropia para o conjunto de teste e tempo computacional para o conjunto de teste.

4.5 Método de comparação entre as abordagens

O teste de hipótese [13] é um teste bastante usado quando as variáveis envolvidas estão sujeitas à variabilidade, ou seja, sofrem mudanças. O teste de hipótese chamado *Teste T* é um teste estatístico, baseado na distribuição t de *Student*. O teste t

¹No treinamento da rede neural SOM, o pacote do Matlab disponível livremente SOM Toolbox foi utilizada. Para mais informações, ver URL <http://www.cis.hut.fi/projects/somtoolbox/> [38]

de *Student* é um teste de hipótese paramétrico, sendo que as duas variáveis envolvidas são intervalares e ambas têm distribuição normal. Quando se pretende comparar dois grupos, a hipótese nula representa que a diferença das médias é zero, isto é, não há diferenças entre os grupos. Assim, esta hipótese determina se um dado resultado é, ou não, estatisticamente significativo.

5 Experimentos

Neste trabalho usamos as redes SOM e SOINN com o propósito de criar classificadores que possam ser usados como sistemas de descoberta de padrões aplicados ao problema de agrupamento. Para a avaliação dos resultados utilizamos a técnica estatística *10-folds cross-validation* com 30 execuções sobre cada método de agrupamento com uma medida de erro baseada na entropia.

5.1 Resultados Experimentais

Para todas as técnicas híbridas de agrupamento de dados (e.g. SOMK, SOMAK, ASCAK e SOINAK) foram realizados os mesmos experimentos. Em todos estes experimentos os dados são normalizados no intervalo entre $[-1, 1]$. Em relação ao parâmetro m dos métodos propostos deste trabalho, que representa o número de formigas do algoritmo AK, o valor de $m = 2$ obteve melhores resultados em [9] [10] comparado com $m = 4$ sugerido por Marco Dorigo [12]. Os experimentos apresentam os resultados dos métodos para a obtenção dos aspectos observados nas 30 execuções realizadas com os valores de mínimo, máximo, média e *Std*.

5.1.1 Desempenho

Nas Tabelas 4 e 5 são apresentados os resultados das técnicas de agrupamentos para os dados sintéticos e reais respectivamente, intervalos de confiança (IC), usando a normalização como método de pré-processamento para obtenção da taxa de erro baseada na entropia. O parâmetro desvio padrão, *Std* apresentou um valor menor para os algoritmos de agrupamento K-médias, SOM e SOINN respeitando esta ordem em sua grande maioria para os conjuntos de dados, enquanto que para os métodos de agrupamento baseados em dois estágios (SOMK, SOMAK, ASCAK e SOINAK) os valores dos desvios padrões são mais altos. As Tabelas 4 e 5 apresentaram uma grande variabilidade no *Std*, destacando uma desvantagem dos métodos de agrupamento em dois estágios.

SOMK apresentou neste trabalho, algumas deficiências, como: o desempenho, onde a medida de entropia tem sido maior que os demais métodos propostos. Na grande maioria dos dados o método proposto SOINAK mostrou uma medida de entropia menor nos respectivos parâmetros de mínimo, máximo e média, quando comparado as técnicas de agrupamento SOM, K-médias, ASCA, SOINN, SOMK, SOMAK e ASCAK. Portanto, a técnica híbrida de agrupamento SOINAK apresenta melhor eficiência em comparação com SOMK, SOMAK e ASCAK, que são também métodos compostos em dois estágios.

5.1.2 Tempo Computacional

Na Tabela 6 são apresentados os tempos computacionais para os métodos usados neste trabalho para os dados sintéticos e reais. O algoritmo K-médias tem sido, em todos os dados (sintéticos e reais), o método de agrupamento mais rápido computacionalmente, pois este é um algoritmo simples, de uma única fase. No entanto, o algoritmo k-médias apresentou uma medida de entropia maior mostrado nas Tabelas 4 e 5, quando comparado às demais técnicas de agrupamentos de dados. Em seguida, foi observado que a técnica híbrida SOINAK apresentou resultados significativos, ou seja, melhor em comparação com os métodos de agrupamento SOMK, SOMAK e ASCAK, porém o SOINAK obteve o tempo computacional duas vezes maior que os métodos SOMK e SOMAK como podem ser vistos na Tabela 6.

5.1.3 Intervalo de Confiança

As Tabelas 4 e 5 apresentam os resultados dos IC obtidos das técnicas de agrupamentos para todos os dados, usando a média e *Std* como base. Os Gráficos podem ser construídos a partir dos IC e as Figuras 6 a 10 mostram os IC para cada base de dados.

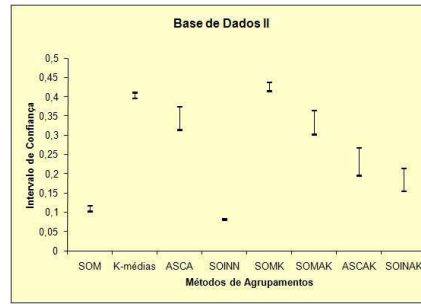
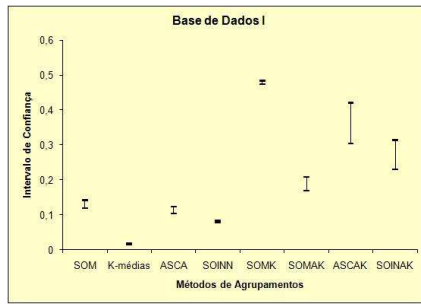
Para as bases *Lines*, *Highleyman*, *Spherical* e *Simple Problem* (Figuras 6 (a), 7 (a), 7 (b) e 8 (a)), K-médias possui o menor valor médio e essa diferença é estatisticamente significativa. Já as bases *Balance Scale*, *CMC* e *Glass* (Figuras 8 (b), 9 (a) e 10 (b)), SOM possui o menor valor médio e essa diferença é estatisticamente significativa. Para as bases *Banana* e *Dermatology* (Figuras 6 (b) e 9 (b)), SOINN possui o menor valor médio e essa diferença é estatisticamente significativa. Por fim, na base *Diabetes* (Figura 10 (a)), SOMK possui o menor valor médio e essa diferença é estatisticamente significativa. As Figuras 6 a 10 mostram que K-médias possui o menor IC para 40% dos dados seguido dos métodos SOM (30%), SOINN (20%) e SOMK (10%) respectivamente. Assim, o K-médias possui a menor variabilidade e essa diferença é estatisticamente significativa.

Portanto, SOINAK apresentou um bom desempenho, e SOINN mostrou resultados significativos com um nível de confiança de 95% para a maioria dos dados. Presume-se, que SOINAK é o melhor método de agrupamento avaliado neste trabalho.

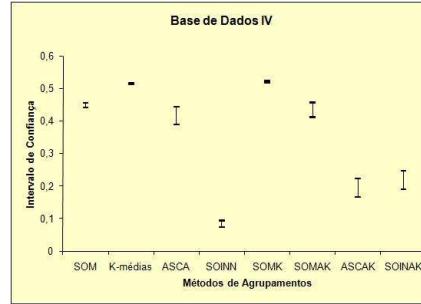
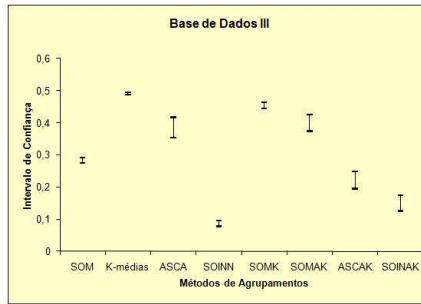
6 Conclusão

6.1 Resultados Obtidos

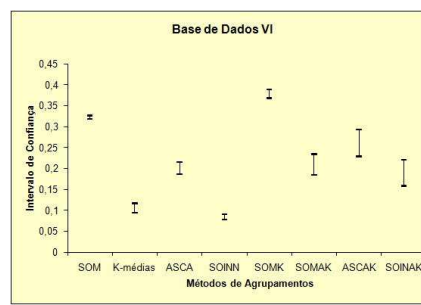
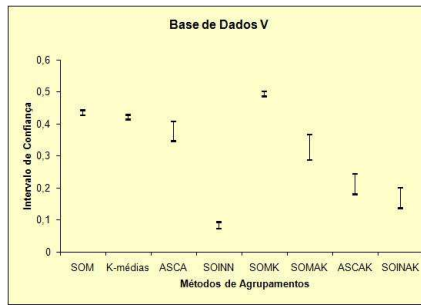
O objetivo deste artigo foi propor os métodos de agrupamentos SOMAK, ASCAK e SOINAK, onde SOINAK se mostrou capaz encontrando um ótimo desempenho quando comparado com as técnicas de agrupamento em dois estágios. Os algoritmos



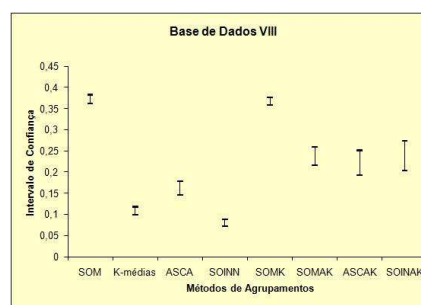
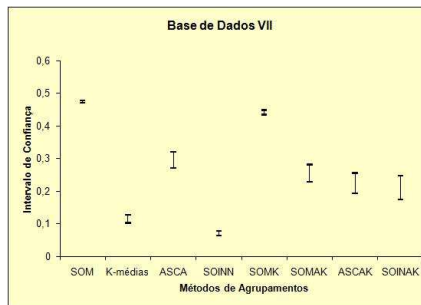
(a) (b)
 Figura 6: Intervalos de confiança da base *Lines* (a) e *Banana* (b).



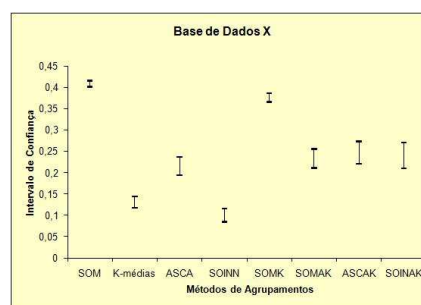
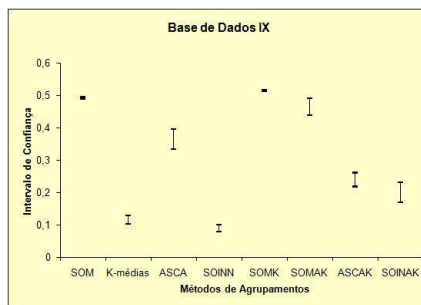
(a) (b)
 Figura 7: Intervalos de confiança da base *Highleyman* (a) e *Spherical* (b).



(a) (b)
 Figura 8: Intervalos de confiança da base *Simple Problem* (a) e *Balance Scale* (b).



(a) (b)
 Figura 9: Intervalos de confiança da base *CMC* (a) e *Dermatology* (b).



(a) (b)
 Figura 10: Intervalos de confiança da base *Diabetes* (a) e *Glass* (b).

Tabela 4: Resultados dos métodos com 30 execuções cada obtendo entropia dos dados sintéticos (conjunto de teste) com os IC.

Dados	Métodos	Mínimo	Máximo	Média	Desvio	Int. de Confiança	
						Limite Inferior	Limite Superior
Lines (I)	SOM	0.0712	0.2004	0.1304	0.0325	0.1187	0.1420
	K-médias	0.0112	0.0289	0.0165	0.0035	0.0152	0.0177
	ASCA	0.0754	0.2102	0.1132	0.0266	0.1036	0.1227
	SOINN	0.0578	0.1035	0.0813	0.0081	0.0784	0.0841
	SOMK	0.4492	0.5042	0.4789	0.0130	0.4742	0.4835
	SOMAK	0.0589	0.2969	0.1887	0.0534	0.1695	0.2078
	ASCAK	0.0833	0.6869	0.3621	0.1624	0.3039	0.4202
	SOINAK	0.0353	0.4637	0.2722	0.1173	0.2302	0.3141
Banana (II)	SOM	0.0724	0.1541	0.1095	0.0216	0.1017	0.1172
	K-médias	0.3558	0.4342	0.4029	0.0203	0.3956	0.4101
	ASCA	0.1380	0.4860	0.3432	0.0845	0.3129	0.3734
	SOINN	0.0598	0.0843	0.0819	0.0049	0.0801	0.0836
	SOMK	0.3257	0.4728	0.4253	0.0318	0.4139	0.4366
	SOMAK	0.1488	0.5069	0.3326	0.0877	0.3012	0.3639
	ASCAK	0.0696	0.4420	0.2310	0.1017	0.1946	0.2673
	SOINAK	0.0099	0.3614	0.1840	0.0835	0.1541	0.2138
Highlyman (III)	SOM	0.2502	0.3314	0.2831	0.0236	0.2746	0.2915
	K-médias	0.4551	0.5063	0.4909	0.0110	0.4869	0.4948
	ASCA	0.1313	0.4986	0.3856	0.0880	0.3541	0.4170
	SOINN	0.0575	0.2220	0.0870	0.0259	0.0777	0.0962
	SOMK	0.4044	0.4939	0.4539	0.0257	0.4447	0.4630
	SOMAK	0.2429	0.5207	0.4000	0.0720	0.3742	0.4257
	ASCAK	0.0541	0.3770	0.2215	0.0739	0.1950	0.2479
	SOINAK	0.0291	0.2780	0.1504	0.0688	0.1257	0.1750
Spherical (IV)	SOM	0.3882	0.4852	0.4481	0.0203	0.4408	0.4553
	K-médias	0.5052	0.5228	0.5145	0.0038	0.5131	0.5158
	ASCA	0.2066	0.5096	0.4159	0.0763	0.3885	0.4432
	SOINN	0.0392	0.2224	0.0838	0.0280	0.0737	0.0938
	SOMK	0.5042	0.5296	0.5208	0.0069	0.5183	0.5232
	SOMAK	0.2644	0.5131	0.4338	0.0627	0.4113	0.4562
	ASCAK	0.0641	0.3611	0.1947	0.0805	0.1658	0.2235
	SOINAK	0.0465	0.3710	0.2185	0.0790	0.1902	0.2467
Simple Problem (V)	SOM	0.3905	0.4755	0.4343	0.0230	0.4260	0.4425
	K-médias	0.3726	0.4575	0.4207	0.0198	0.4136	0.4277
	ASCA	0.0906	0.4825	0.3766	0.0864	0.3456	0.4075
	SOINN	0.0364	0.2224	0.0829	0.0287	0.0726	0.0931
	SOMK	0.4515	0.5286	0.4934	0.0223	0.4854	0.5013
	SOMAK	0.0376	0.5039	0.3267	0.1103	0.2872	0.3661
	ASCAK	0.1112	0.5278	0.2116	0.0907	0.1791	0.2440
	SOINAK	0.0181	0.3259	0.1686	0.0898	0.1364	0.2007

de agrupamento foram testados para dados diretos e dados treinados pelos modelos auto-organizáveis (SOM e SOINN) e ASCA numa primeira etapa seguido de AK como segunda etapa dos métodos propostos.

SOINAK têm se mostrado melhor que SOMK, SOMAK e ASCAK por ter encontrado um melhor desempenho quando comparado com os métodos de agrupamento em dois estágios (Tabelas 4 e 5). Foram observados a medida de entropia e o tempo computacional, e os resultados experimentais confirmam com o uso do Teste t com um nível de significância de 5%.

6.2 Limitações e Perspectivas Futuras

Uma limitação de dois dos métodos propostos, ASCAK, SOINAK, é o alto custo computacional. Já o método SOMAK não tem tempo computacional alto. Dentre as perspectivas futuras está a possibilidade de verificar o tempo de outras abordagens híbridas de agrupamento vistas na literatura, objetivando hibridizar esta nova técnica de agrupamento com ASCAK e SOINAK, de modo a diminuir o custo computacional. Pretende-se usar outras técnicas de agrupamento na fase de pré-processamento dos padrões de entrada da rede neural, como método de eliminação de ruído.

Outra possibilidade é ajustar os métodos ASCAK e SOINAK com a finalidade de reduzir o tempo computacional quando comparado com os métodos descritos neste trabalho. O primeiro método que será observado é o ABSOM [40], que trabalha bem na análise de agrupamento em dois estágios, quando é usado como uma técnica de pré-processamento, além de apresentar resultados melhores quando comparado com a rede de Kohonen [14].

Tabela 5: Resultados dos métodos com 30 execuções cada obtendo entropia dos dados reais (conjunto de teste) com os IC.

Dados	Métodos	Mínimo	Máximo	Média	Desvio	Int. de Confiança	
						Limite Inferior	Limite Superior
Balance Scale (VI)	SOM	0.2955	0.3491	0.3224	0.0112	0.3183	0.3264
	K-médias	0.0685	0.1869	0.1052	0.0321	0.0937	0.1166
	ASCA	0.1064	0.2661	0.2001	0.0403	0.1856	0.2145
	SOINN	0.0593	0.1421	0.0839	0.0179	0.0774	0.0903
	SOMK	0.3232	0.4425	0.3784	0.0297	0.3677	0.3890
	SOMAK	0.0705	0.3761	0.2093	0.0692	0.1845	0.2340
	ASCAK	0.0833	0.4816	0.2606	0.0901	0.2283	0.2928
SOINAK	0.0384	0.3503	0.1896	0.0875	0.1582	0.2209	
CMC (VII)	SOM	0.4453	0.4929	0.4743	0.0106	0.4705	0.4780
	K-médias	0.0685	0.1870	0.1145	0.0334	0.1025	0.1264
	ASCA	0.1872	0.4120	0.2954	0.0692	0.2706	0.3201
	SOINN	0.0104	0.1039	0.0703	0.0191	0.0634	0.0771
	SOMK	0.4025	0.4821	0.4414	0.0201	0.4342	0.4485
	SOMAK	0.1432	0.4182	0.2546	0.0745	0.2279	0.2812
	ASCAK	0.0481	0.4274	0.2245	0.0869	0.1934	0.2555
SOINAK	0.0170	0.4189	0.2103	0.1010	0.1741	0.2464	
Dermatology (VIII)	SOM	0.3212	0.4324	0.3723	0.0289	0.3619	0.3826
	K-médias	0.0722	0.1840	0.1086	0.0262	0.0992	0.1179
	ASCA	0.0832	0.2328	0.1622	0.0454	0.1459	0.1784
	SOINN	0.0441	0.1597	0.0804	0.0225	0.0723	0.0884
	SOMK	0.3170	0.4319	0.3676	0.0246	0.3587	0.3764
	SOMAK	0.1420	0.3656	0.2381	0.0604	0.2164	0.2597
	ASCAK	0.0925	0.4028	0.2220	0.0806	0.1931	0.2508
SOINAK	0.0759	0.4940	0.2387	0.0973	0.2038	0.2735	
Diabetes (IX)	SOM	0.4738	0.5079	0.4914	0.0078	0.4886	0.4941
	K-médias	0.0700	0.1910	0.1157	0.0379	0.1021	0.1292
	ASCA	0.1773	0.4988	0.3643	0.0866	0.3333	0.3952
	SOINN	0.0569	0.2133	0.0892	0.0314	0.0779	0.1004
	SOMK	0.5011	0.5250	0.5144	0.0062	0.5121	0.5166
	SOMAK	0.1933	0.5282	0.4643	0.0739	0.4378	0.4907
	ASCAK	0.1241	0.3539	0.2393	0.0606	0.2176	0.2609
SOINAK	0.0161	0.3778	0.1999	0.0849	0.1695	0.2302	
Glass (X)	SOM	0.3635	0.4451	0.4080	0.0197	0.4009	0.4150
	K-médias	0.0748	0.2021	0.1310	0.0364	0.1179	0.1440
	ASCA	0.0952	0.3292	0.2149	0.0593	0.1936	0.2361
	SOINN	0.0369	0.1907	0.0998	0.0431	0.0843	0.1152
	SOMK	0.3286	0.4338	0.3758	0.0281	0.3657	0.3858
	SOMAK	0.0868	0.3461	0.2331	0.0624	0.2107	0.2554
	ASCAK	0.1174	0.4268	0.2467	0.0736	0.2203	0.2730
SOINAK	0.0872	0.3804	0.2400	0.0833	0.2101	0.2698	

Com a utilização de SOINN combinada ao AK sendo um sistema híbrido de reconhecimento de padrões, verificamos a necessidade de automatizar os parâmetros de configuração da rede SOINN e do AK, devido à quantidade e à dificuldade de escolha dos parâmetros adequados. Assim, será testado a possibilidade de usar outros algoritmos de otimização global [41] e [42], resultando o sistema híbrido de reconhecimento de padrões num funcionamento independente e sem a necessidade de ajuda do ser humano.

Podemos observar, que o benefício do SOMAK é a redução do tempo e de ruídos (em virtude de se usar um método baseado em dois estágios). Os desempenhos dos métodos SOMAK e SOMK foram comparados usando uma medida de entropia [39]. SOMAK apresentou valores menores (medida de entropia e tempo computacional) quando comparada ao método de agrupamento SOMK, para a maioria dos dados usados nestes artigos [9] [10], mostrando ser melhor que SOMK.

Os resultados apresentados para os dados gerados pelo método Monte Carlo [35] e [36], que tem como propósito gerar as bases de dados, mostraram que o sistema híbrido ASCAK neste trabalho é melhor do que os demais sistemas híbridos (SOMK e SOMAK), por ter encontrado um melhor desempenho quando comparado com essas duas técnicas.

Os resultados experimentais mostram um desempenho melhor do SOINAK comparado com SOMK, SOMAK e ASCAK; apresentando vantagens, como: redução de ruídos, quantidade menor de parâmetros para serem configurados, não necessita saber *a priori* o número de agrupamentos como K-médias (ou AK) e informar os centróides iniciais. Portanto, SOINAK é um método de agrupamento robusto, podendo ser aplicado a diferentes tipos de problemas de agrupamento para obter resultados mais promissores.

Tabela 6: Resultados dos métodos com 30 execuções obtendo tempo computacional dos dados sintéticos e reais (dados de teste).

	Dados	Métodos	Mínimo	Máximo	Média	Desvio		Dados	Métodos	Mínimo	Máximo	Média	Desvio
Lines (I)		SOM	5.467	6.189	5.7178	0.1606	Balance Scale (VI)		SOM	3.3382	3.6947	3.4666	0.0763
		K-médias	0.4372	0.5228	0.4462	0.0151			K-médias	0.0560	0.0863	0.0655	0.0077
		ASCA	11.676	14.922	13.098	0.7821			ASCA	3.3194	6.2293	4.7890	0.7734
		SOINN	14.270	18.089	16.791	1.1233			SOINN	5.0158	6.5270	5.8638	0.3422
		SOMK	6.6046	7.3494	6.8666	0.1643			SOMK	4.3049	4.6706	4.4508	0.0840
		SOMAK	6.3644	7.1004	6.6946	0.1844			SOMAK	4.2297	4.9395	4.4614	0.1559
		ASCAK	11.680	14.928	13.104	0.7832			ASCAK	3.8090	7.0879	5.1767	1.0192
	SOINAK	14.882	19.187	17.401	1.1320		SOINAK	5.4872	7.7862	6.3723	0.5532		
Banana (II)		SOM	6.2183	6.8441	6.4857	0.1378	CMC (VII)		SOM	13.528	14.845	14.043	0.3043
		K-médias	0.3366	0.3571	0.3448	0.0051			K-médias	0.0540	0.2537	0.0656	0.0358
		ASCA	13.006	26.586	20.090	2.9588			ASCA	41.078	238.57	93.974	46.674
		SOINN	15.375	17.653	16.575	0.5266			SOINN	38.335	41.391	40.522	0.6491
		SOMK	7.3520	8.2189	7.6472	0.1618			SOMK	14.909	16.240	15.434	0.3070
		SOMAK	7.5242	8.5392	8.0676	0.2543			SOMAK	14.837	16.187	15.453	0.3266
		ASCAK	13.009	26.703	20.891	3.0574			ASCAK	44.166	238.88	101.97	49.371
	SOINAK	15.841	19.068	17.398	0.8336		SOINAK	39.158	44.405	41.518	1.1583		
Highleyman (III)		SOM	6.2533	6.8994	6.4471	0.1222	Dermatology (VIII)		SOM	28.938	29.297	29.087	0.0871
		K-médias	0.3198	0.3347	0.3257	0.0039			K-médias	0.0436	0.1451	0.0607	0.0285
		ASCA	10.869	23.804	18.036	3.7306			ASCA	0.7029	1.3905	1.0656	0.1643
		SOINN	15.634	17.278	16.413	0.4788			SOINN	1.5755	2.3479	2.0489	0.1694
		SOMK	7.4056	8.0478	7.6023	0.1212			SOMK	29.943	30.304	30.102	0.1043
		SOMAK	7.1529	8.3231	7.4052	0.2235			SOMAK	29.364	29.689	29.540	0.0855
		ASCAK	12.706	24.795	19.618	3.4978			ASCAK	0.9596	1.8389	1.3897	0.2246
	SOINAK	15.825	18.659	17.0861	0.7197		SOINAK	1.1560	2.6256	2.0888	0.3026		
Spherical (IV)		SOM	6.3861	6.8165	6.5760	0.1165	Diabetes (IX)		SOM	5.8072	6.2175	5.9322	0.0719
		K-médias	0.3173	0.4190	0.3320	0.0263			K-médias	0.0394	0.2944	0.0546	0.0456
		ASCA	7.2653	37.777	21.107	7.7648			ASCA	7.8359	44.228	21.904	8.5322
		SOINN	14.065	18.406	16.874	1.2014			SOINN	9.6132	10.863	10.092	0.2528
		SOMK	7.5340	7.9477	7.7284	0.1193			SOMK	6.9667	7.3696	7.1129	0.0858
		SOMAK	7.5691	8.8254	8.2795	0.3354			SOMAK	6.5917	7.0380	6.7562	0.0958
		ASCAK	7.5509	39.579	26.424	9.4688			ASCAK	10.413	44.264	28.077	10.386
	SOINAK	15.329	19.453	17.336	1.2029		SOINAK	9.8258	18.779	11.562	2.8513		
Simple Problem (V)		SOM	6.2029	6.5876	6.3902	0.1037	Glass (X)		SOM	4.4001	4.4820	4.4260	0.0192
		K-médias	0.3148	0.3345	0.3194	0.0039			K-médias	0.0347	0.1030	0.0436	0.0158
		ASCA	9.8263	27.929	16.159	1.0123			ASCA	0.6235	1.3029	1.0200	0.2019
		SOINN	7.3384	7.7445	7.5460	0.1089			SOINN	0.3504	0.6346	0.4515	0.0617
		SOMK	7.3409	8.8399	8.1355	0.3452			SOMK	5.1649	5.2485	5.1991	0.0256
		SOMAK	7.3409	8.8399	8.1355	0.3452			SOMAK	4.6482	4.7988	4.7216	0.0386
		ASCAK	8.3152	31.024	22.193	4.9208			ASCAK	0.7883	1.3803	1.1629	0.1440
	SOINAK	14.847	18.495	16.746	0.9966		SOINAK	0.3490	0.8239	0.5406	0.1045		

Agradecimentos

Os autores agradecem ao CNPq, CAPES, e FACEPE (agências brasileiras de fomento à pesquisa) pela ajuda financeira.

REFERÊNCIAS

- [1] A. K. JAIN, M. N. MURTY and P. J. FLYNN. “Data Clustering: A Review”. *ACM Computing Surveys*, vol. 31, no. 3, pp. 264–323, 1999.
- [2] A. P. BRAGA, A. P. L. F. CARVALHO and T. B. LUDERMIR. *Redes Neurais Artificiais: Teoria e Aplicações*. Livros Técnicos e Científicos, 2000.
- [3] P. A. MOSCATO and J. V. ZUBEN. “Uma Visão Geral de Clusterização de Dados”, 2002. ftp://ftp.dca.fee.unicamp.br/pub/docs/vonzuben/ia368_02/topico5_02.pdf. Acesso em 30 de abril de 2010.
- [4] S. O. REZENDE. *Sistemas Inteligentes - Fundamentos e Aplicações*. Manole, 2003.
- [5] G. S. da S. Gomes and T. B. Ludermir. “Optimization of the weights and asymmetric activation function family of neural network for time series forecasting”. *Expert Systems with Applications*, vol. 40, no. 16, pp. 6438–6446, 2013.

- [6] A. A. Ferreira and T. B. Ludermit. “Genetic algorithm for reservoir computing optimization”. In *International Joint Conference on Neural Networks, IJCNN 2009, Atlanta, Georgia, USA, 14-19 June 2009*, pp. 811–815. IEEE Computer Society, 2009.
- [7] F. L. Minku and T. B. Ludermit. “Clustering and co-evolution to construct neural network ensembles: An experimental study”. *Neural Networks*, vol. 21, no. 9, pp. 1363–1379, 2008.
- [8] J. VESANTO and E. ALHONIEMI. “Clustering of the Self-Organizing Map”. *IEEE Transactions on Neural Networks*, vol. 11, no. 3, pp. 586–600, 2000.
- [9] J. R. SOUZA, T. B. LUDERMIR and L. M. ALMEIDA. “Um Método de Agrupamento em Dois Estágios Combinando Mapas Auto-Organizáveis e Ant K-médias”. In: *VII ENIA - Encontro Nacional de Inteligência Artificial, Anais do VII ENIA - Encontro Nacional de Inteligência Artificial, Bento Gonçalves, 2009*.
- [10] J. R. SOUZA, T. B. LUDERMIR and L. M. ALMEIDA. “A Two Stage Clustering Method Combining Self-Organizing Maps and Ant K-means”. *19th International Conference on Artificial Neural Networks (ICANN), Limassol. Lecture Notes in Computer Science. Amsterdam: Springer Verlag*, vol. 5768, pp. 485–494, 2009.
- [11] S. FURAO and O. HASEGAWA. “An Incremental Network for On-line Unsupervised Classification and Topology Learning”. *Neural Network*, vol. 19, pp. 90–106, 2006.
- [12] M. DORIGO and T. STÜTZLE. *The Ant Colony Optimization Metaheuristic: Algorithms, Applications and Advances*. Handbook of Metaheuristics, 2002.
- [13] T. MITCHELL. *Machine Learning*. McGraw-Hill, 1997.
- [14] T. KOHONEN. “The Self-Organizing Map”. *Neurocomputing*, vol. 21, pp. 1–6, 1998.
- [15] R. D. LAWRENCE, G. S. ALMASI and H. E. RUSHMEIER. “A Scalable Parallel Algorithm for Self-Organizing Maps with Applications to Sparse Data Problems”. *Data Mining Knowledge Discovery*, vol. 3, no. 2, pp. 171–195, 1999.
- [16] T. KOHONEN, S. KASKI, K. LAGUS, J. SALOJARVI, J. HONKELA, V. PAATERO and A. SAARELA. “Self Organization of a Massive Document Collection”. *IEEE Transactions on Neural Networks, Special Issue on Neural Networks for Data Mining and Knowledge Discovery*, vol. 11, no. 3, pp. 574–585, 2000.
- [17] P. KOIKKALAINEN. “Fast Deterministic Self-Organizing Maps”. *Proceedings International Conference on Artificial Neural Networks*, vol. 2, pp. 63–68, 1995.
- [18] P. S. SHELOKAR, V. K. JAYARAMAN and B. D. KULKARNI. “An Ant Colony Approach for Clustering”. *Analytical Chimica Acta*, vol. 509, pp. 187–195, 2004.
- [19] D. MARTENS, M. DE BACKER, R. HAESSEN, J. VANTHIENEN, M. SNOECK and B. BAESSENS. “Classification with Ant Colony Optimization”. *IEEE Transactions on Evolutionary Computation*, vol. 11, no. 5, pp. 651–665, 2007.
- [20] T. NIKNAM, B. B. FIROUZI and M. NAYERIPOUR. “An Efficient Hybrid Evolutionary Algorithm for Cluster Analysis”. *Journal World Applied Sciences*, vol. 4, no. 2, pp. 300–307, 2008.
- [21] P. YUQING, H. XIANGDAN and L. SHANG. “The K-means Clustering Algorithm Based on Density and Ant Colony”. *IEEE Intelligent Neural Networks and Signal Processing*, vol. 1, pp. 457–460, 2003.
- [22] S. SAATCHI and C. C. HUNG. “Hybridization of the Ant Colony Optimization with the K-Means Algorithm for Clustering”. *Lecture Notes in Computer Science*, vol. 3540, pp. 511–520, 2005.
- [23] M. Carvalho and T. B. Ludermit. “Hybrid Training of Feed-Forward Neural Networks with Particle Swarm Optimization”. In *Neural Information Processing, 13th International Conference, ICONIP 2006, Hong Kong, China, October 3-6, 2006, Proceedings, Part II*, edited by I. King, J. Wang, L. Chan and D. L. Wang, volume 4233 of *Lecture Notes in Computer Science*, pp. 1061–1070. Springer, 2006.
- [24] M. Carvalho and T. B. Ludermit. “Particle Swarm Optimization of Feed-Forward Neural Networks with Weight Decay”. In *6th International Conference on Hybrid Intelligent Systems (HIS 2006), 13-15 December 2006, Auckland, New Zealand*, edited by N. K. Kasabov, M. Köppen, A. König, A. Abraham and Q. Song, p. 5. IEEE Computer Society, 2006.
- [25] X. XIAO, E. R. DOW, R. C. EBERHART, Z. B. MILED and R. J. OPPELT. “Gene Clustering Using Self-Organizing Maps and Particle Swarm Optimization”. *Proceedings of Second IEEE International Workshop on High Performance Computational Biology*, p. 10, 2003.
- [26] E. M. N. Figueiredo and T. B. Ludermit. “Effect of the PSO Topologies on the Performance of the PSO-ELM”. In *2012 Brazilian Symposium on Neural Networks, Curitiba, Paraná, Brazil, October 20-25, 2012*, edited by A. C. Lorena, C. E. Thomaz and A. T. R. Pozo, pp. 178–183. IEEE Computer Society, 2012.

- [27] S. C. CHU, J. F. RODDICK, C. J. SU and J. S. PAN. “Constrained Ant Colony Optimization for Data Clustering”. *Computer Science*, vol. 3157, pp. 534–543, 2004.
- [28] R. J. KUO, H. S. WANG, H. TUNG-LAI and S. H. CHOU. “Application of Ant K-Means on Clustering Analysis”. *Computers and Mathematics with Applications*, vol. 20, no. 10-12, pp. 1709–1724, 2005.
- [29] R. Prudêncio and T. Ludermir. “Using Machine Learning Techniques to Combine Forecasting Methods”. In *AI 2004: Advances in Artificial Intelligence, 17th Australian Joint Conference on Artificial Intelligence, Cairns, Australia, December 4-6, 2004, Proceedings*, edited by G. I. Webb and X. Yu, volume 3339 of *Lecture Notes in Computer Science*, pp. 1122–1127. Springer, 2004.
- [30] R. B. Prudêncio, T. B. Ludermir and F. de A.T. de Carvalho. “A Modal Symbolic Classifier for selecting time series models”. *Pattern Recognition Letters*, vol. 25, no. 8, pp. 911–921, 2004.
- [31] R. J. KUO, C. L. CHA, S. H. CHOU, C. W. SHIH and C. Y. CHIU. “Integration of Ant Algorithm and Case Based Reasoning for Knowledge Management”. *Proceedings International Conference on International Journal of Intelligent Enterprise (IJIE)*, 2003. Las Vegas, USA, in CD-R.
- [32] P. BERKHIN. “Grouping Multidimensional Data Recent Advances in Clustering”. *A Survey of Clustering Data Mining Techniques*, pp. 25–71, 2006.
- [33] R. P. W. DUIN, P. JUSZCZAK, P. PACLIK, E. PEKALSKA, D. RIDDER, D. M. J. TAX and S. VERZAKOV. “PRTools4 A Matlab Toolbox for Pattern Recognition”, 2007. <http://prtools.org/>. Acesso em 16 de janeiro de 2009.
- [34] D. AHA. “UCI Machine Learning Repository”, 1987. <http://archive.ics.uci.edu/ml/>. Acesso em 15 de outubro de 2009.
- [35] G. W. MILLIGAN. “An Examination of the Effect of Six Types of Error Perturbation on Fifteen Clustering Algorithms”. *Education Resources Information Center*, vol. 45, no. 3, pp. 325–342, 1980.
- [36] G. W. MILLIGAN. “An Algorithm for Generating Artificial Test Clusters”. *Springer*, vol. 50, no. 1, pp. 123–127, 1985.
- [37] C. MOLER. “MATLAB”, 1970. <http://www.mathworks.com/products/matlab/tryit.html>. Acesso em 30 de abril de 2010.
- [38] E. ALHONIEMI, J. HIMBERG, J. PARHANKANGAS and J. VESANTO. “SOM Toolbox 2.0”, 2005. <http://www.cis.hut.fi/projects/somtoolbox/download/>. Acesso em 16 de janeiro de 2009.
- [39] P. N. TAN, M. STEINBACH and V. KUMAR. *Introduction to Data Mining*. Pearson, 2006.
- [40] C. SHENG-CHAI and Y. CHIH-CHIEH. “A Two-Stage Clustering Method Combining Ant Colony SOM and K-means”. *Journal of Information Science and Engineering (JISE)*, vol. 24, pp. 1445–1460, 2008.
- [41] D. E. GOLDBERG. *Genetic Algorithms in Search, Optimization and Machine Learning*. Addison-Wesley, 1989.
- [42] A. Carvalho, A. Braga and T. Ludermir. “Computação evolutiva”. *Sistemas Inteligentes - Fundamentos e Aplicações*, pp. 225–248, 2003.